

# Инварианты почти вложений графов в плоскость

Э. АЛКИН, Е. БОРДАЧЕВА, А. МИРОШНИКОВ, А. СКОПЕНКОВ

## СОДЕРЖАНИЕ

Предисловие: неформальное описание темы и основных результатов	1
О стиле этого текста	2
1. Число оборотов: определение и обсуждение	2
1.A. Построение примера 1.7	5
2. Число оборотов и пересечения	6
3. Числа оборотов изображений графов	8
3.A. Построение примера 3.4	10
4. Почти вложения: определение и обсуждение	13
5. Основные результаты: числа оборотов почти вложений графов	14
5.A. Доказательства некоторых результатов из §5	16
6. Триодическое и циклическое числа $Bu$ : определения и обсуждение	18
7. Связь инвариантов друг с другом	21
8. Трехмерные аналоги	26
Список литературы	26

## ПРЕДИСЛОВИЕ: НЕФОРМАЛЬНОЕ ОПИСАНИЕ ТЕМЫ И ОСНОВНЫХ РЕЗУЛЬТАТОВ

Эта статья начинается (§1-§3.A) с элементарного изложения базовых топологических идей (отображения и его степени) на примере числа оборотов замкнутой ломаной вокруг точки, а также отображения графа в плоскость. Например, теорема 1.4 — элементарная формулировка маломерного случая теоремы Борсука-Улама. Эта вводная часть будет интересна даже тем, кому не интересны почти вложения (и она подведет их к понятию почти вложения). Изучение большей части статьи не требует предварительных знаний (за пределами школьной программы), но требует некоторой математической культуры. Несмотря на элементарность, статья подводит читателя к переднему краю науки, см. замечания 5.8, 7.6, статьи [Sk18, KS20, IKN+, Ga23, Vo] и ссылки в них.

Изображения без самопересечений графов на плоскости (т.е. вложения или плоские графы) активно изучаются. Также интересны изображения графов, имеющие «умеренные» самопересечения, например, *почти вложения* (см. определение рядом с рисунками 4.1 и 4.2). Их изучение находится на стыке комбинаторной геометрии, компьютерной науки, геометрической и алгебраической топологии.

Мы определим целочисленные инварианты почти вложений: число оборотов (§1), циклическое и триодическое числа  $Bu$  (§6). (Здесь инвариант — просто число, сопоставленное почти вложению: мы не используем вне замечания 7.6 понятие почти изотопии, относительно которой это число инвариантно.) Мы докажем некоторые ограничения на значения этих инвариантов (теоремы 5.2, 5.4 и утверждения 6.2, 6.5, 7.2, 7.5, 8.1). Мы построим почти вложения, реализующие некоторые значения таких инвариантов (примеры 5.10, 6.3, 6.6, 8.2.a; рисунки 5.2 и 7.4). Имеются гипотезы 5.3, 5.6.b, 7.4, 7.6.bc, 7.7.b, 8.2.b и нерешенная проблема 5.7.

---

Мы благодарны М. Дидину, П. Кожевникову, Б. Червоненкису и особенно Т. Гараеву и О. Никитенко за полезные обсуждения. При написании этого текста использованы материалы [ABMt] Летней Конференции Турнира Городов и [RS] курса МФТИ.

## О СТИЛЕ ЭТОГО ТЕКСТА

Основные идеи представлены на «олимпиадных» примерах: на простейших (обычно маломерных) частных случаях, свободных от технических деталей, и со сведением к необходимому минимуму научного языка. За счет этого и текст становится доступным для начинающих, и удается быстро добраться до интересных сложных и важных результатов, методов и теоретических идей. Более простой материал приводится для того, чтобы сделать естественным и доступным более сложный.

Как правило, мы приводим *формулировку* красивого или важного утверждения *перед* последовательностью определений и результатов, составляющих его *доказательство*. В таких случаях для доказательства утверждения требуется часть дальнейшего материала. Об этом указано после формулировки утверждения. Некоторые результаты приведены без доказательств, тогда даются ссылки вместо указаний. Если к утверждению (или задаче) не приведено ни доказательство, ни ссылка на него, то оно несложно. Основные результаты называются «теоремами», менее важные результаты — «утверждениями», важные вспомогательные результаты — «леммами».

В тексте имеется небольшое количество задач (полезно рассматривать и утверждения как задачи). Изучение путем решения задач характерно для серьезного изучения математики, см. [HC19, §1.1], [ZSS, §1.2] и данные там ссылки. Оно продолжает древнюю культурную традицию. Задачи пронумерованы жирными цифрами, слово «задача» опускается. Если условие задачи является формулировкой утверждения, то в задаче требуется это утверждение доказать (и тогда в ссылках мы называем это утверждение утверждением, а не задачей). Краткие указания к задачам приводятся сразу, более длинные в конце параграфа. *Загадкой* называется не сформулированный четко вопрос; здесь нужно придумать и четкую формулировку, и доказательство.

Определения важных понятий даны **жирным шрифтом**, чтобы их было проще найти. Замечания не используются в дальнейшем.

## 1. ЧИСЛО ОБОРОТОВ: ОПРЕДЕЛЕНИЕ И ОБСУЖДЕНИЕ

Везде, кроме §8, рассматриваемые точки и ломаные расположены на плоскости.

Пусть  $O, A, B, A_1, \dots, A_m$  — точки.

Предположим, что  $A \neq O$  и  $B \neq O$  (но, возможно,  $A = B$ ). *Ориентированным (или направленным) углом*  $\angle AOB$  называется число  $t \in (-\pi, \pi]$ , такое что вектор  $\overrightarrow{OB}$  сонаправлен вектору, полученному из  $\overrightarrow{OA}$  вращением на угол  $t$  против часовой стрелки. (Если Вы можете рассматривать векторы на плоскости как комплексные числа, то можете переписать это условие как  $\overrightarrow{OB} \uparrow\uparrow e^{it}\overrightarrow{OA}$ .)

**Ломаной**  $A_1 \dots A_m$  называется (упорядоченный) набор  $(A_1A_2, A_2A_3, \dots, A_{m-1}A_m)$  отрезков. **Замкнутой ломаной**  $A_1 \dots A_m$  называется набор  $(A_1A_2, A_2A_3, \dots, A_{m-1}A_m, A_mA_1)$  отрезков.<sup>1</sup>

**Числом оборотов**  $w(l) = w(l, O)$  замкнутой ломаной  $l = A_1 \dots A_m$  вокруг не лежащей на ней точки  $O$  называется количество оборотов при вращении вектора, начало которого находится в точке  $O$ , а конец обходит ломаную в заданном порядке вершин. Строго говоря,

$$2\pi \cdot w(l) = 2\pi \cdot w(l, O) := \angle A_1OA_2 + \angle A_2OA_3 + \dots + \angle A_{m-1}OA_m + \angle A_mOA_1$$

— сумма ориентированных углов.

Например, на рисунке 1.1  $w(ABC) = \frac{1}{2\pi} (\angle AOB + \angle BOC + \angle COA) = +1$  и

$$2\pi \cdot w(ABCD) = \angle AOB + \angle BOC + \angle COD + \angle DOA = \angle BOD + \angle DOB = 0.$$

<sup>1</sup>Допускается  $m = 1$ . Кроме того, набор отрезков — не то же самое, что их объединение. Таким образом ломаная (определенная здесь) не является подмножеством плоскости. Тем не менее, иногда мы работаем с множеством отрезков как с их объединением, например, мы пишем «ломаная, не проходящая через точку». Определенное здесь понятие ломаной близко к тому, что иногда понимают как «ориентированную ломаную».

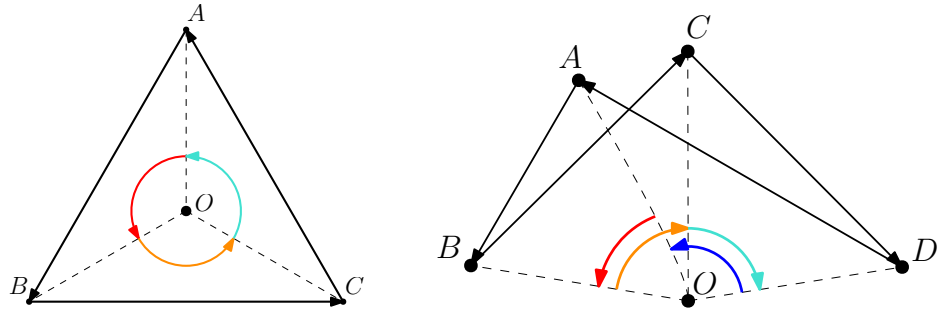


Рис. 1.1.  $w(ABC) = +1$  и  $w(ABCD) = 0$

Пусть  $ABC$  — треугольник и  $O$  — точка внутри него. Тогда  $w(ABCABC) = 2w(ABC) = \pm 2$ . Этот пример показывает, что числа оборотов для разных ломаных с одинаковым объединением их отрезков могут быть разными. Более того, существует замкнутая ломаная  $l$ , такая что  $w(l) = 0$  для любой точки  $O \in \mathbb{R}^2 - l$ . Примерами являются ломаные  $A, AB, ABCB$  для любых точек  $A, B$  и  $C$ .

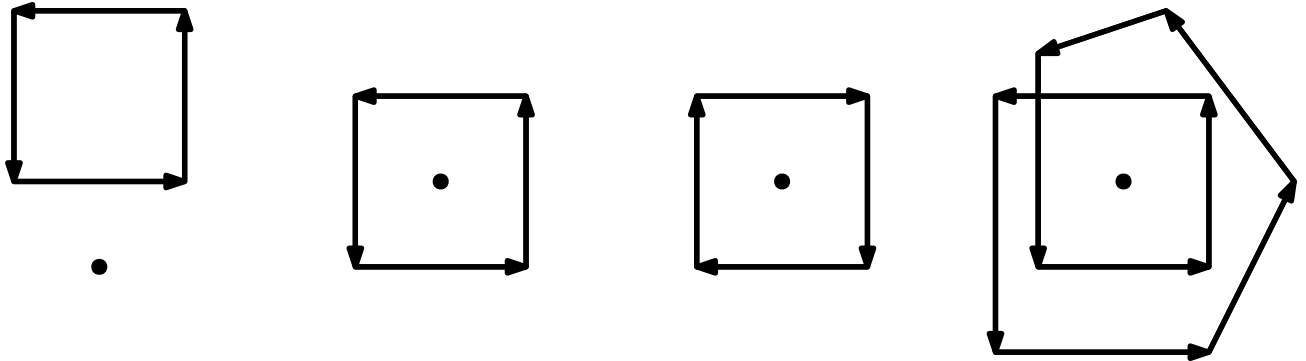


Рис. 1.2. Числа оборотов равны 0, +1, -1, +2

**Утверждение 1.1.** Число оборотов

- (a) любого контура выпуклого многоугольника;
  - (b) любой замкнутой ломаной без самопересечений
- вокруг любой точки из внешности (внутренности) равно 0 ( $\pm 1$ ). См. рисунок 1.2.

*Доказательство пункта (a).* Обозначим через  $\Omega$  данный выпуклый многоугольник, а через  $\partial\Omega$  — его контур.

Если точка  $O$  лежит вне  $\Omega$ , то проведем через  $O$  две опорные прямые к  $\Omega$ . Возьмем две точки  $A, B$  из пересечений этих опорных прямых с контуром  $\partial\Omega$  многоугольника. Имеем  $w(\partial\Omega) = \frac{1}{2\pi}(\angle AOB + \angle BOA) = 0$ .

Если точка  $O$  лежит внутри  $\Omega$ , то нарисуем правильный треугольник  $ABC$  с центром в  $O$ . Возьмем три точки  $A', B', C'$  пересечения лучей  $OA, OB, OC$  с контуром  $\partial\Omega$  многоугольника. Они разбивают контур  $\partial\Omega$  на три ломаные. Имеем

$$w(\partial\Omega) = \frac{1}{2\pi}(\angle A'OB' + \angle B'OC' + \angle C'OA') = \frac{3}{2\pi}\angle A'OB' = \frac{3}{2\pi}\angle AOB = \pm 1.$$

□

Пункт (b) в зависимости от изложения является либо следствием *теоремы Жордана* [Sk20, §1.4], либо леммой в ее доказательстве.

**Пример 1.2.** Для любых целого числа  $n$  и точки  $O$  существует замкнутая ломаная, число оборотов которой вокруг  $O$  равно  $n$ .

*Построение.* Если  $n = 0$ , то примером является замкнутая ломаная, состоящая из одной точки. Если  $n \neq 0$ , то возьмем правильный треугольник  $ABC$  с центром  $O$ , ориентированный против часовой стрелки при  $n > 0$  и по часовой стрелке иначе. Определим замкнутую ломаную  $l$  формулой  $l := \underbrace{ABC \dots ABC}_{|n| \text{ раз}}$ . По утверждению 1.1.а, имеем  $w(l) = |n| \cdot w(ABC) = n$ .  $\square$

**Утверждение 1.3.** Число оборотов  $w(A_1 \dots A_m)$  является целым числом.

*Доказательство.* Для  $j = 1, \dots, m$  обозначим  $t_j := \angle A_j O A_{j+1}$ , где  $A_{m+1} = A_1$ . Тогда

$$\overrightarrow{OA_1} \uparrow\uparrow e^{it_m} \overrightarrow{OA_m} \uparrow\uparrow e^{i(t_m+t_{m-1})} \overrightarrow{OA_{m-1}} \uparrow\uparrow \dots \uparrow\uparrow e^{i(t_m+t_{m-1}+\dots+t_1)} \overrightarrow{OA_1}.$$

Следовательно,  $(t_m + t_{m-1} + \dots + t_1)/2\pi$  является целым числом.  $\square$

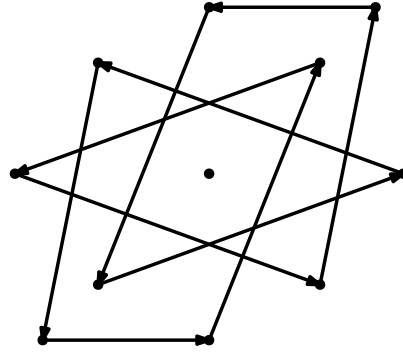


Рис. 1.3. Замкнутая ломаная  $l$ , симметричная относительно точки  $O$ ;  $w(l) = 3$

**Теорема 1.4** (Борсук-Улам). Пусть замкнутая ломаная  $A_1 \dots A_{2k}$  не проходит через точку  $O$  и симметрична относительно  $O$  (т. е.  $O$  — середина отрезка  $A_j A_{k+j}$  для каждого  $j = 1, \dots, k$ ). Тогда число оборотов ломаной вокруг точки  $O$  нечетно.

Следующие обозначение и результаты будут полезны.

Пусть  $l = A_1 \dots A_m$  — ломаная, не проходящая через точку  $O$ . Определим действительное число  $w'(l) = w'(l, O)$  формулой

$$2\pi \cdot w'(l) = 2\pi \cdot w'(l, O) := \angle A_1 O A_2 + \angle A_2 O A_3 + \dots + \angle A_{m-1} O A_m.$$

Очевидно, что

- $w'(A_1 \dots A_m A_1) = w(A_1 \dots A_m)$ ;
- $w'(A_1 \dots A_m) = w'(A_1 \dots A_j) + w'(A_j \dots A_m)$  для каждого  $j = 1, \dots, m$ ;
- если точки  $A_2, \dots, A_{m-1}$  лежат внутри угла  $\angle A_1 O A_m$ , то  $2\pi w'(A_1 \dots A_m) = \angle A_1 O A_m$ .

**Утверждение 1.5.** Имеем  $\angle A_1 O A_m = 2\pi w'(A_1 \dots A_m) + 2\pi n$  для некоторого целого  $n$ .

*Доказательство.* Очевидно, что  $2\pi w(A_1 \dots A_m) = 2\pi w'(A_1 \dots A_m) + \angle A_m O A_1$ . По утверждению 1.3 получаем требуемое.  $\square$

*Доказательство теоремы 1.4.* Ввиду симметричности, имеем

$$w'(A_1 \dots A_{k+1}) = w'(A_{k+1} \dots A_{2k} A_1).$$

Тогда

$$\begin{aligned} w(A_1 \dots A_{2k}) &= w'(A_1 \dots A_{2k} A_1) = w'(A_1 \dots A_{k+1}) + w'(A_{k+1} \dots A_{2k} A_1) = \\ &= 2w'(A_1 \dots A_{k+1}) \stackrel{(1)}{=} 2 \left( \frac{\angle A_1 O A_{k+1}}{2\pi} + n \right) = 1 + 2n \end{aligned}$$

для некоторого целого  $n$ . Здесь равенство (1) следует из утверждения 1.5.  $\square$

Обозначим через  $l^{-1}$  ломаную, полученную из ломаной  $l$  прохождением в противоположном порядке. Очевидно, что  $w'(l) = -w'(l^{-1})$  для любой точки  $O \notin l$ .

Конкатенацией ломаных  $l_1 = A_1 \dots A_m C$  и  $l_2 = C B_1 \dots B_k$  называется ломаная

$$l_1 l_2 := A_1 \dots A_m C B_1 \dots B_k.$$

Конкатенацией замкнутых ломаных  $l_1 = A_1 \dots A_m C$  и  $l_2 = B_1 \dots B_k C$  называется замкнутая ломаная

$$l_1 l_2 := A_1 \dots A_m C B_1 \dots B_k C.$$

В этих обозначениях  $w'(l_1 l_2) = w'(l_1) + w'(l_2)$  для любых точки  $O$  и ломаных  $l_1, l_2$ , не проходящих через  $O$ .

**Утверждение 1.6.** Пусть  $O, A, B$  — три попарно различные точки. Пусть  $l_1, l_2, l_3$  — ломаные, соединяющие точку  $A$  с точкой  $B$ , и не проходящие через точку  $O$ . Тогда  $w(l_1 l_2^{-1}) + w(l_2 l_3^{-1}) = w(l_1 l_3^{-1})$ .

*Доказательство.* Имеем

$$w(l_1 l_2^{-1}) + w(l_2 l_3^{-1}) = w'(l_1) + w'(l_2^{-1}) + w'(l_2) + w'(l_3^{-1}) = w'(l_1) + w'(l_3^{-1}) = w(l_1 l_3^{-1}).$$

□

**Пример 1.7** (см. построение в §1.А). Пусть  $O, A, B$  — три попарно различных точки. Для любых трех целых чисел  $n_1, n_2, n_3$ , таких что  $n_1 + n_2 = n_3$ , существуют три ломаные  $l_1, l_2, l_3$ , соединяющие точку  $A$  с точкой  $B$ , не проходящие через точку  $O$ , и такие, что

$$w(l_1 l_2^{-1}) = n_1, \quad w(l_2 l_3^{-1}) = n_2 \quad \text{и} \quad w(l_1 l_3^{-1}) = n_3.$$

**Утверждение 1.8.** Пусть  $A_0 A_1 A_2$  — правильный треугольник, а точка  $O$  — его центр. Для  $j = 0, 1, 2$  обозначим через  $l_j$  ломаную, не пересекающую луч  $O A_j$  и соединяющую  $A_{j+1}$  с  $A_{j+2}$ , где нумерация берется по модулю 3. Тогда  $w(l_0 l_1 l_2) = \pm 1$ .

*Набросок доказательства.* Можно считать, что вершины треугольника пронумерованы против часовой стрелки. По утверждению 1.5 имеем  $w'(l_0) = \frac{1}{3} + k$  для некоторого целого  $k$ . В следующем абзаце мы докажем, что  $k = 0$ . Равенства  $w'(l_1) = w'(l_2) = \frac{1}{3}$  доказываются аналогично. Тогда  $w(l_0 l_1 l_2) = w'(l_0) + w'(l_1) + w'(l_2) = 1$ .

Обозначим через  $B_1 \dots B_m$  последовательные вершины ломаной  $l_0$ . Для  $j = 1, \dots, m-1$  положим  $t_j := \angle B_j O B_{j+1} \in (-\pi, \pi)$ . Пусть найдется такое наименьшее  $j$ , что  $T_j := t_1 + \dots + t_j \notin (-\frac{2\pi}{3}, \frac{4\pi}{3})$ . Тогда отрезок  $B_j B_{j+1}$  пересекается с лучом  $O A_0$ . Значит,  $T_j \in (-\frac{2\pi}{3}, \frac{4\pi}{3})$  для любого  $j = 1, \dots, m-1$ . В частности,  $T_{m-1} \in (-\frac{2\pi}{3}, \frac{4\pi}{3})$ . При этом  $T_{m-1} = 2\pi w'(l_0) = \frac{2\pi}{3} + 2\pi k$  для некоторого целого  $k$ . Следовательно,  $k = 0$ . □

Подробнее о числе оборотов и связанных с ним понятиях см. [Wn, Va81, To84, Ta88], [KK18, теорема 2], [Sk18, §2], [Sk20, §3.2].

### 1.А. ПОСТРОЕНИЕ ПРИМЕРА 1.7

Для построения примеров в этом тексте не нужны сложные картинки — достаточно *простых* преобразований *простых* картинок. Например, полезно преобразование на рисунке 1.4. На этом и других рисунках мы изображаем *кривыми* ломаные с большим числом звеньев. Вершины ломаной расположены на кривой в порядке, обозначенном стрелками.

*Идея построения примера 1.7.* Построим точки  $X, Y$  и  $Z$ , как показано на рисунке 1.5. Положим  $l_1 = AXB$ ,  $l_2 = AYB$ ,  $l_3 = AZB$ . Сделаем

- $|n_1|$  положительных/отрицательных «пальцевых движений» (рисунок 1.4) ломаной  $l_1$  вокруг точки  $O$ , если  $n_1$  положительно/отрицательно соответственно;
- $|n_2|$  положительных/отрицательных «пальцевых движений» ломаной  $l_3^{-1}$  вокруг точки  $O$ , если  $n_2$  положительно/отрицательно соответственно.

Получим  $w(l_1 l_2^{-1}) = n_1$ ,  $w(l_2 l_3^{-1}) = n_2$  и, ввиду утверждения 1.6,  $w(l_1 l_3^{-1}) = n_3$ . □

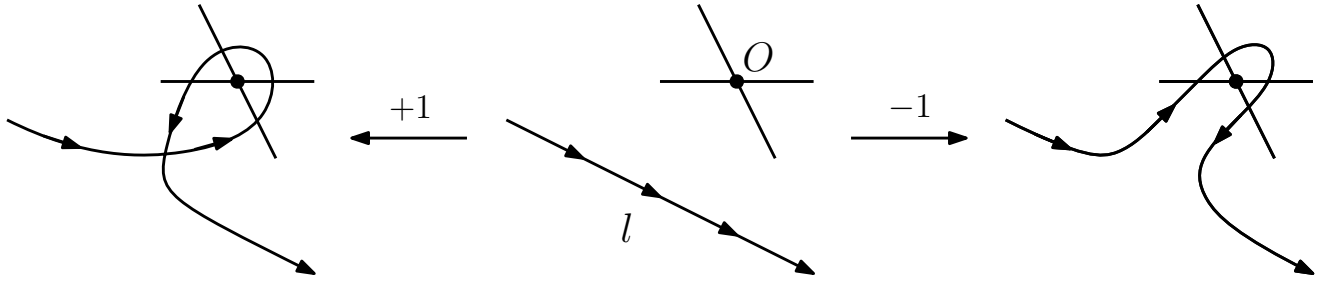


Рис. 1.4. «Пальцевые движения» ломаной  $l$  вокруг точки  $O$ : положительное (слева) и отрицательное (справа)

**Замечание 1.9.** В вышеприведенном рассуждении «пальцевые движения» определены картинкой, а не строгим построением. Возможно, это считается достаточным для такого рода результатов даже в научном журнале. Однако мы приведем более строгое построение примера 1.7. Для более сложных результатов такая строгость уже является необходимой.

Более строгое построение оказывается более коротким. Хотя оно основано на идее «пальцевых движений», оказывается более экономным не упоминать в нем «пальцевых движений». (Der Mohr hat seine Arbeit getan, der Mohr kann gehen. F. Schiller.<sup>2</sup>) Так часто бывает при наведении строгости.

Строгие доказательства с явным использованием пальцевых движений получаются применением леммы 3.5.

Пусть  $l$  — замкнутая ломаная. Обозначим через  $l^0$  замкнутую ломаную, состоящую из одной точки. Для целого  $n > 0$  обозначим через  $l^n$  замкнутую ломаную  $\underbrace{l \dots l}_{n \text{ раз}}$ . Обозначим  $l^{-n} := (l^{-1})^n$ . Очевидно, что для любых целого  $n$  и точки  $O \notin l$ , выполнено  $w(l^n) = n \cdot w(l)$ .

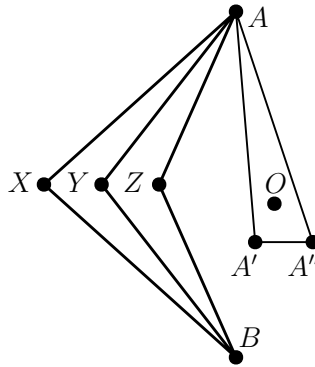


Рис. 1.5. К построению примера 1.7

*Построение примера 1.7.* Построим точки  $X, Y, Z, A'$  и  $A''$ , как показано на рисунке 1.5. Положим  $l_1 = (AA'A'')^{n_1} AXB$ ,  $l_2 = AYB$ ,  $l_3 = (AA'A'')^{n_2} AZB$ . Имеем

$$w(l_1 l_2^{-1}) = w'(l_1) + w'(l_2^{-1}) = w'((AA'A'')^{n_1} A) + w'(AXB) + w'(BYA) = n_1 w(AA'A'') + w(AXB) + w(BYA) = n_1,$$

$$w(l_2 l_3^{-1}) = w'(l_2) + w'(l_3^{-1}) = w'(AYB) + w'(BZA) + w'(A(A'A''A)^{n_2}) = w(AYBZ) + n_2 w(A'A''A) = n_2.$$

Тогда  $w(l_1 l_3^{-1}) = n_3$  по утверждению 1.6.  $\square$

## 2. ЧИСЛО ОБОРОТОВ И ПЕРЕСЕЧЕНИЯ

Материал этого раздела важен сам по себе, но в этой статье он используется только для доказательств теоремы 4.1 (она нужна только для *мотивировки* понятия почти вложения), теорем 5.2, 5.4.а (в §5.А) и утверждения 7.2.

<sup>2</sup>Мавр сделал свое дело, мавр может уйти. Ф. Шиллер.

**Утверждение 2.1.** Возьмем точки  $P_0$  и  $P_1$ , соединенные ломаной, не пересекающейся с замкнутой ломаной  $l$ . Тогда  $w(l, P_0) = w(l, P_1)$ .

*Указание:* используйте соображения непрерывности или выведите из леммы 2.5.а.

Несколько точек находятся в *общем положении*, если никакие три из них не лежат на прямой и никакие три отрезка, их соединяющие, не имеют общей внутренней точки. *Далее в этом разделе вершины всех рассматриваемых ломаных  $l$ , а также всех пар ломаных  $l$  и  $p$ , попарно различны и (если не оговорено противное) находятся в общем положении.*

**Утверждение 2.2.** Возьмем замкнутую и незамкнутую ломаные  $l$  и  $p$ . Обозначим через  $P_0$  и  $P_1$  начальную и конечную точки ломаной  $p$ . Тогда

(а)  $w(l, P_1) - w(l, P_0) \equiv |l \cap p| \pmod 2$ . (Это дискретная версия теоремы Стокса.)

(б)  $w(l, P_1) \equiv |l \cap p| \pmod 2$ , если точка  $P_0$  расположена достаточно далеко от ломаной  $l$  (т. е. вне ее выпуклой оболочки).

*Набросок доказательства.* Пункт (б) следует из пункта (а), так как  $w(l, P_0) = 0$ .

(а) Если  $p$  не пересекает  $l$ , то по утверждению 2.1 имеем  $w(l, P_1) - w(l, P_0) = 0 = |l \cap p|$ .

Иначе можно считать, что  $p$  есть отрезок, пересекающий  $l = A_1A_2 \dots A_m$  в единственной точке, и эта точка принадлежит отрезку  $A_1A_2$ . Выберем точку  $X$  так, что  $P_0$  находится внутри треугольника  $A_1XA_2$ . Тогда  $P_1$  лежит вне треугольника  $A_1XA_2$ . Определим замкнутую ломаную  $l'$  формулой  $l' := A_1XA_2 \dots A_m$ . Имеем

$$w(l, P_1) = w(l, P_1) + w(A_1XA_2, P_1) = w(l', P_1) \stackrel{(1)}{=} w(l', P_0) = w(l, P_0) + w(A_1XA_2, P_0) = w(l, P_0) \pm 1.$$

Здесь равенство (1) выполнено по утверждению 2.1.

*Другой способ:* можно применить лемму 2.5.б (или даже ее версию по модулю 2). □

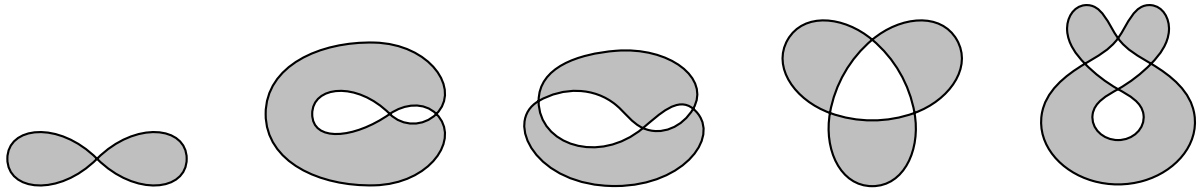


Рис. 2.1. Шахматные раскраски дополнений и внутренности по модулю 2

Любое подмножество плоскости разбивается на *компоненты (связности)*, такие что любые две точки одной компоненты можно соединить ломаной, лежащей в подмножестве, а никакие две точки из разных компонент — нельзя. Дополнение  $\mathbb{R}^2 - l$  до замкнутой ломаной  $l$  допускает «шахматную раскраску», такую что компоненты дополнения, соседствующие по некоторому отрезку ломаной, покрашены в разные цвета, см. рисунок 2.1 [Sk18, утверждение 2.1.1], [Sk, утверждение 2.1.1]. *Внутренностью по модулю 2* замкнутой ломаной  $l$  называется объединение черных областей шахматной раскраски (при условии, что «бесконечная» область белая). Вот эквивалентное прямое определение, не использующее шахматной раскраски. *Внутренностью по модулю 2* называется множество всех точек  $X \in \mathbb{R}^2 - l$ , для которых найдется ломаная  $p$ ,

- соединяющая точку  $X$  с точкой, расположенной достаточно далеко от  $l$ ,
- пересекающая  $l$  в нечетном числе точек, и
- такая, что все вершины ломаных  $l$  и  $p$  попарно различны и (кроме  $X$ ) находятся в общем положении.

Корректность этого определения следует из леммы о четности: *если вершины двух замкнутых ломаных попарно различны и находятся в общем положении, то ломаные пересекаются в четном числе точек.* (См. доказательство в [Sk18, лемма 1.3.3]; эта лемма также есть частный случай утверждения 2.2.а для  $P_0 = P_1$ .)

**Утверждение 2.3** (следует из утверждения 2.2.b). *Точка  $O$  лежит во внутренней по модулю 2 замкнутой ломаной  $l$  тогда и только тогда, когда  $w(l)$  нечетно.*

Знак  $\alpha \cdot \beta$  внутренней точки пересечения двух направленных отрезков  $\alpha, \beta$  определен в [Sk18, §1.3]. Для ломаных  $l$  и  $p$  обозначим через  $l \cdot p$  сумму знаков точек их пересечений.

**Утверждение 2.4.** *Возьмем замкнутую и незамкнутую ломаные  $l$  и  $p$ . Обозначим через  $P_0$  и  $P_1$  начальную и конечную точки ломаной  $p$ . Тогда*

$$(a) w(l, P_1) - w(l, P_0) = l \cdot p.$$

(b)  $w(l, P_1) = l \cdot p$ , если точка  $P_0$  расположена достаточно далеко от ломаной  $l$ .

Утверждение 2.4 доказывается аналогично утверждению 2.2 или выводится из леммы 2.5.b.

Возьмем замкнутую ломаную  $l$  (рисунок 2.2). По утверждению 2.1, числа оборотов вокруг точек из одной компоненты дополнения  $\mathbb{R}^2 - l$  одинаковы. По утверждению 2.4.a, числа оборотов в компонентах, соседствующих по некоторому отрезку, отличаются на  $\pm 1$ . Такая «раскраска» дополнения  $\mathbb{R}^2 - l$  целыми числами называется *раскраской Мебиуса-Александера*.

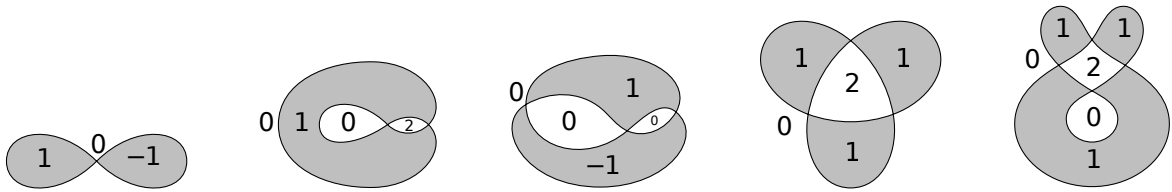


Рис. 2.2. «Раскраски» дополнений в соответствии с числом оборотов (с точностью до смены направления ломаной)

Для ломаных  $A \dots B$  и  $C \dots D$  обозначим

$$\partial(A \dots B \times C \dots D) := w'(A \dots B, D) + w'(C \dots D, A) - w'(C \dots D, B) - w'(A \dots B, C).$$

Это число определено, поскольку ломаные общего положения. (Представим ломаные в качестве *PL отображений*  $p, q : [0, 1] \rightarrow \mathbb{R}^2$ . Тогда  $\partial(A \dots B \times C \dots D)$  есть число оборотов вектора  $p(x) - q(y)$  при обходе по границе  $\partial([0, 1]^2)$  квадрата  $[0, 1]^2$ .)

**Лемма 2.5.** (a) *Для любых непересекающихся ломаных  $l$  и  $p$  (не обязательно общего положения) выполнено  $\partial(l \times p) = 0$ .*

(b) *Для любых ломаных  $l$  и  $p$  выполнено  $\partial(l \times p) = l \cdot p$ .*

*Набросок доказательства.* (a) Если  $l = AB$  и  $p = CD$ , то лемма верна, поскольку  $\angle ADB + \angle DBC + \angle BCA + \angle CAD = 0$  для любых непересекающихся отрезков  $AB$  и  $CD$ . (Достаточно, чтобы эта сумма углов лежала в  $(-2\pi, 2\pi)$ .)

Сведем общий случай к рассмотренному. Для произвольных ломаных  $l_1, l_2, p$  имеем

$$\partial(l_1 l_2 \times p) = \partial(l_1 \times p) + \partial(l_2 \times p) \quad \text{и} \quad \partial(p \times l_1 l_2) = \partial(p \times l_1) + \partial(p \times l_2).$$

Поэтому

$$\partial(l \times p) = \sum_{\substack{EF \text{ — отрезок ломаной } l \\ GH \text{ — отрезок ломаной } p}} \partial(EF \times GH) = 0.$$

(b) Аналогично п. (a). □

### 3. ЧИСЛА ОБОРОТОВ ИЗОБРАЖЕНИЙ ГРАФОВ

**Замечание 3.1** (некоторые строгие определения). Вы можете пропустить это замечание и использовать определенные здесь понятия на интуитивном уровне. Впрочем, определение планарности подведет Вас к определению отображения, которое приведено далее и формально не использует определения планарности.

Графом (конечным)  $(V, E)$  называется конечное множество  $V$  вместе с набором  $E \subset \binom{V}{2}$  его двухэлементных подмножеств (т. е. неупорядоченных пар несовпадающих элементов). (Общепринятый термин для этого понятия — *граф без петель и кратных ребер* или *простой граф*.) Элементы данного конечного множества называются *вершинами*. Пары вершин из  $E$  называются *ребрами*.

Говоря нестрого, граф планарен, если его можно нарисовать «без самопересечений» на плоскости. Строго говоря, граф называется *планарным* (или *кусочно-линейно вложимым в плоскость*), если существует его *вложение* в плоскость, т.е.

- (1) набор точек плоскости, соответствующих вершинам,
- (2) вместе с набором (незамкнутых) ломаных на плоскости, каждая из которых соединяет те пары из набора точек, которые соответствуют парам смежных вершин графа,
- (3) причем ломаные несамопересекающиеся, и никакая из ломаных не пересекает внутренность другой ломаной.<sup>3</sup>

Обозначим через

- $[n]$  множество  $\{1, 2, \dots, n\}$ ;
- $K_n$  полный граф на множестве  $[n]$  вершин;
- $K_{m,n}$  полный двудольный граф с долями  $[m]$  и  $[n]'$  (мы обозначаем через  $A'$  копию множества  $A$ ).

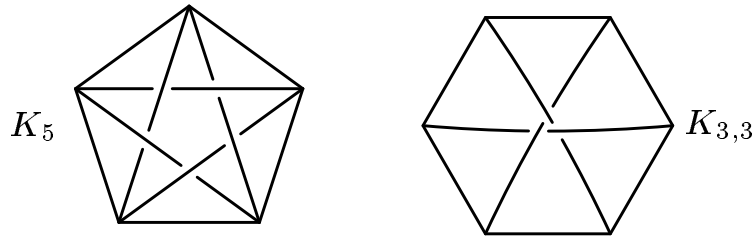


Рис. 3.1. Непланарные графы  $K_5$  и  $K_{3,3}$

Мы рассматриваем изображения графов на плоскости, при которых ребра изображаются ломаными (и допускаются пересечения этих ломаных). Строго говоря, **отображением** (кусочно-линейным)  $f : K \rightarrow \mathbb{R}^2$  графа  $K$  в плоскость называется

- (1) набор точек плоскости, соответствующих вершинам,
  - (2) вместе с набором (незамкнутых) ломаных на плоскости, каждая из которых соединяет те пары из набора точек, которые соответствуют парам смежных вершин графа.
- (Это то же, что (1) и (2) из определения планарности.)

Более точно, каждому ребру соответствует не ломаная, а пара ломаных, получаемых друг из друга прохождением в противоположном порядке. Задание ориентации на ребре графа задает выбор одной из этих двух ломаных.

**Образ**  $f(\sigma)$  ребра  $\sigma$  (при отображении  $f$ ) — это объединение отрезков соответствующей ломаной (см. сноску 1). **Образ** набора ребер — это объединение образов всех ребер из набора.

**Сужение**  $f|_{ab}$  на ориентированное ребро  $ab$  — это соответствующая ломаная с началом  $f(a)$  и концом  $f(b)$ . Ориентированный цикл в графе обозначается перечислением его вершин в порядке их следования (без запятых). **Сужением**  $f|_C : C \rightarrow \mathbb{R}^2$  на ориентированный цикл  $C = v_1 \dots v_n$  в графе  $K$  называется замкнутая ломаная  $f|_{v_1v_2} \dots f|_{v_{n-1}v_n} f|_{v_nv_1}$  (рисунок 3.2). Здесь поскольку цикл  $C$  ориентированный, то его ребра ориентированы (хотя граф  $K$  неориентированный).

На этом языке утверждение 1.6 переформулируется так: для любого отображения  $f : K_{3,2} \rightarrow \mathbb{R}^2$  и точки  $O \notin f(K_{3,2})$  имеем  $w(f|_{1'2'2}) + w(f|_{1'22'3}) = w(f|_{1'12'3})$ .

<sup>3</sup>Тогда любые две ломаные либо не пересекаются, либо пересекаются только по их общей концевой вершине. Мы не требуем, чтобы «ни одна изолированная вершина не лежала ни на одной из ломаных», поскольку этого свойства всегда можно добиться.

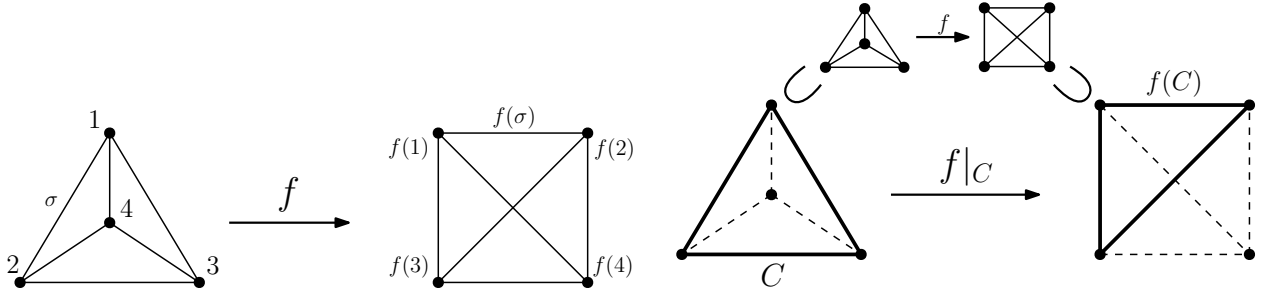


Рис. 3.2. Отображение  $f : K_4 \rightarrow \mathbb{R}^2$  (слева); образ  $f(C)$  и сужение  $f|_C$  (справа)

Для  $j \in [4]$  обозначим через  $C_j$  ориентированный цикл в  $K_4$ , полученный удалением  $j$  из 1234.

**Утверждение 3.2.** Для любых отображения  $f : K_4 \rightarrow \mathbb{R}^2$  и точки  $O \in \mathbb{R}^2 - f(K_4)$  выполнено

$$\sum_{j=1}^4 (-1)^j w(f|_{C_j}) = 0 : \quad -w(f|_{234}) + w(f|_{134}) - w(f|_{124}) + w(f|_{123}) = 0.$$

Напомним, что  $K - e$  — граф, полученный из графа  $K$  удалением ребра  $e$ .

*Доказательство утверждения 3.2.* Вот еще одна переформулировка утверждения 1.6:  $w(f|_{123}) + w(f|_{134}) = w(f|_{1234})$  для любого отображения  $f : K_4 - 24 \rightarrow \mathbb{R}^2$  и точки  $O \notin f(K_4 - 24)$ . Поэтому  $w(f|_{123}) + w(f|_{134}) = w(f|_{1234}) = w(f|_{2341}) = w(f|_{234}) + w(f|_{124})$ .  $\square$

**Пример 3.3.** Если  $n_1 - n_2 + n_3 - n_4 = 0$  для целых  $n_1, n_2, n_3, n_4$ , то существуют точка  $O$  и отображение  $f : K_4 \rightarrow \mathbb{R}^2$ , такое что  $O \notin f(K_4)$  и  $w(f|_{C_j}) = n_j$  для каждого  $j \in [4]$ .

Пример 3.3 строится аналогично примеру 1.7.

Для вершины  $v$  и ориентированного цикла  $C$  в графе  $K$ , таких что  $f(v) \notin f(C)$ , положим

$$w_f(C, v) := w(f|_C, f(v)).$$

Назовем отображение  $f : K \rightarrow \mathbb{R}^2$  **слабым почти вложением**, если  $f(v) \notin f(\sigma)$  для каждой пары из вершины  $v$  и ребра  $\sigma \not\ni v$ . Это свойство необходимо, чтобы все инварианты  $w_f(C, v)$  для любых цикла  $C$  и вершины  $v \notin C$  в графе  $K$  были определены. Если не накладывать на слабое почти вложение  $f : K_4 \rightarrow \mathbb{R}^2$  дополнительные ограничения, то наборами инвариантов  $w_f(C_j, j)$ ,  $j \in [4]$  реализуема любая четверка целых чисел.

**Пример 3.4** (ср. рисунок 3.3). Для любых целых  $n_1, n_2, n_3, n_4$  существует слабое почти вложение  $f : K_4 \rightarrow \mathbb{R}^2$ , такое что  $w_f(C_j, j) = n_j$  для каждого  $j \in [4]$ :

$$w_f(234, 1) = n_1, \quad w_f(134, 2) = n_2, \quad w_f(124, 3) = n_3, \quad w_f(123, 4) = n_4.$$

Простой пример 3.4 предвещает более интересные примеры почти вложений из §5.

### 3.А. ПОСТРОЕНИЕ ПРИМЕРА 3.4

*Идея построения примера 3.4 для  $n_2 = n_3 = n_4 = 0$ .* Квадрат с диагоналями образует слабое почти вложение  $g : K_4 \rightarrow \mathbb{R}^2$ ; пусть его вершины  $g(j)$ ,  $j \in [4]$  пронумерованы против часовой стрелки. Тогда  $w_g(C_j, j) = 0$  для каждого  $j \in [4]$ .

Сделаем  $|n_1|$  положительных/отрицательных «пальцевых движений» (рисунок 1.4) ломаной  $g|_{23}$  вокруг точки  $g(1)$ , если  $n_1$  положительно/отрицательно соответственно. Это можно сделать так, чтобы полученное в результате этого преобразования отображение  $f$  было слабым почти вложением. Тогда  $w_f(C_1, 1) = n_1$  и  $w_f(C_j, j) = 0$  для каждого  $j = 2, 3, 4$ .  $\square$

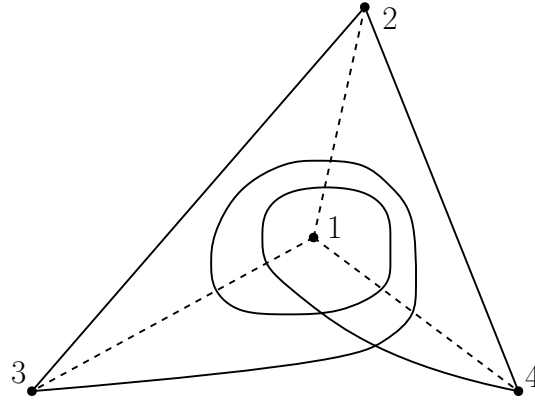


Рис. 3.3. Отображение  $f : K_4 \rightarrow \mathbb{R}^2$ , такое что  $w_f(234, 1) = 3$

*Идея построения примера 3.4.* Возьмем слабое почти вложение  $f$  из идеи построения примера 3.4 для  $n_2 = n_3 = n_4 = 0$ . Сделаем

- $|n_2|$  положительных/отрицательных «пальцевых движений» ломаной  $f|_{34}$  вокруг точки  $f(2)$ , если  $n_2$  положительно/отрицательно соответственно;
- $|n_3|$  положительных/отрицательных «пальцевых движений» ломаной  $f|_{41}$  вокруг точки  $f(3)$ , если  $n_3$  положительно/отрицательно соответственно;
- $|n_4|$  положительных/отрицательных «пальцевых движений» ломаной  $f|_{12}$  вокруг точки  $f(4)$ , если  $n_4$  положительно/отрицательно соответственно.

Эти три преобразования можно сделать так, чтобы полученное в результате отображение было слабым почти вложением. Оно является искомым.  $\square$

Вышеприведенное построение можно коротко сформулировать так: для каждого  $j \in [4]$  и  $j$ -ого ориентированного ребра  $\sigma_j$  из четверки  $(23, 34, 41, 12)$  последовательно сделаем  $|n_j|$  положительных/отрицательных «пальцевых движений» ломаной  $f|_{\sigma_j}$  вокруг точки  $f(j)$ , если  $n_j$  положительно/отрицательно соответственно.

Мотивировка дальнейшего аналогична замечанию 1.9.

*Построение примера 3.4.* В дальнейших равенствах цифры слева от знака равенства являются вершинами графа  $K_4$ , справа — точками плоскости, изображенными на рисунке 3.4.

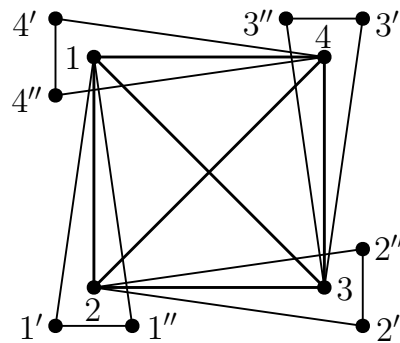


Рис. 3.4. К построению примера 3.4

Положим  $f(j) = j$  для каждого  $j \in [4]$ ,  $f|_{13} = 13$ ,  $f|_{24} = 24$  и

$$f|_{12} = 1(22'2'')^{n_3}2, \quad f|_{23} = 2(33'3'')^{n_4}3, \quad f|_{34} = 3(44'4'')^{n_1}4, \quad f|_{41} = 4(11'1'')^{n_2}1.$$

Докажем, что отображение  $f$  является искомым. Имеем

$$\begin{aligned} w_f(234, 1) &= w'(f|_{23}, f(1)) + w'(f|_{34}, f(1)) + w'(f|_{42}, f(1)) = \\ &= w'(2(33'3'')^{n_4}3, 1) + w'(3(44'4'')^{n_1}4, 1) + w'(42, 1) = n_4 w(33'3'', 1) + n_1 w(44'4'', 1) + w(234, 1) = n_1. \end{aligned}$$

Для остальных чисел оборотов доказательства аналогичны. (Похожие вычисления уже встречались в построении примера 1.7.)  $\square$

Приведем другое построение примера 3.4, полезное для обобщений.

Для вершины  $v$  и ориентированного ребра  $\tau$  в графе  $K$ , таких что  $f(v) \notin f(\tau)$ , положим

$$w'_f(\tau, v) := w'(f|_\tau, f(v)).$$

**Лемма 3.5** (ср. [KS20, Lemma 2.1]). *Для любых графа  $K$ , его ориентированного ребра  $ab$ , его вершины  $j \notin ab$ , знака  $s \in \{-1, +1\}$  и слабого почти вложения  $g : K \rightarrow \mathbb{R}^2$  существует слабое почти вложение  $f : K \rightarrow \mathbb{R}^2$ , такое что*

- (1)  $w'_f(ab, j) = w'_g(ab, j) + s$  и
- (2)  $w'_f(\sigma, v) = w'_g(\sigma, v)$  для любых ориентированного ребра  $\sigma \neq ab, ba$  и вершины  $v \neq j$ ,  $v \notin \sigma$ .

*Набросок доказательства.* Пусть имеется ломаная  $l = A_1 \dots A_m$  и треугольник с вершинами  $X, Y, Z$ , обозначенными против часовой стрелки. Точка  $O$  лежит внутри треугольника  $XYZ$ .

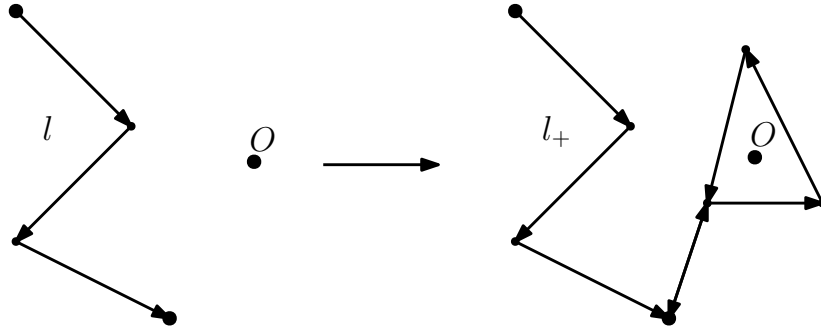


Рис. 3.5. Положительное пальцевое движение ломаной  $l$  вокруг точки  $O$

Будем говорить, что ломаная  $l_+$  получена из ломаной  $l$  *положительным пальцевым движением* вокруг точки  $O$ , если  $l_+ = A_1 \dots A_m XYZ X A_m$ . Аналогично  $l_-$  получена из ломаной  $l$  *отрицательным пальцевым движением* вокруг точки  $O$ , если  $l_- = A_1 \dots A_m XZY X A_m$ .

Легко видеть, что  $w'(l) = w'(l_+) - 1 = w'(l_-) + 1$ .

Сделаем пальцевое движение ломаной  $g|_{ab}$  вокруг  $g(j)$  так, что

- (i)  $g(j)$  единственный образ вершины графа внутри треугольника  $XYZ$ ,
- (ii) отрезок  $g(b)X$  не содержит образов вершин графа  $K$ , отличных от  $a$  и  $b$ ,
- (iii) движение положительное, если  $s = +1$ , иначе отрицательное.

Отображение  $f$ , полученное в результате этого пальцевого движения, является искомым. Условия (i, iii) влекут условия (1, 2). Отображение  $f$  является слабым почти вложением ввиду условия (ii).  $\square$

*Набросок построения примера 3.4.* Квадрат с диагоналями образует слабое почти вложение  $g : K_4 \rightarrow \mathbb{R}^2$ ; пусть вершины  $g(j)$ ,  $j \in [4]$  пронумерованы против часовой стрелки. Тогда  $w_g(C_j, j) = 0$  для каждого  $j \in [4]$ .

Многочисленным применением леммы 3.5 к отображению  $g$  получим слабое почти вложение  $f : K_4 \rightarrow \mathbb{R}^2$ , такое что

$$\begin{aligned} w'_f(23, 1) &= w'_g(23, 1) + n_1, & w'_f(34, 2) &= w'_g(34, 2) + n_2, \\ w'_f(41, 3) &= w'_g(41, 3) + n_3, & w'_f(12, 4) &= w'_g(12, 4) + n_4 \end{aligned} \quad \text{и}$$

$$w'_f(\sigma, v) = w'_g(\sigma, v) \text{ для каждой пары } (\sigma, v), v \notin \sigma, \text{ отличной от перечисленных.}$$

Ввиду равенства  $w_f(ijk, v) = w'_f(ij, v) + w'_f(jk, v) + w'_f(ki, v)$  для любого отображения  $f$ , цикла  $ijk$  и вершины  $v \notin ijk$ , отображение  $f$  является искомым.  $\square$

## 4. ПОЧТИ ВЛОЖЕНИЯ: ОПРЕДЕЛЕНИЕ И ОБСУЖДЕНИЕ

Одно из доказательств непланарности (т.е. невложимости в плоскость) графа  $K_5$  дает следующий результат.

**Теорема 4.1** (Ханани-Татт; ван Кампен). *Для любого отображения  $K_5 \rightarrow \mathbb{R}^2$  существуют два несмежных ребра, образы которых пересекаются.*

Это следует из утверждения 2.1 и теоремы 5.4.а ниже. (Стандартное доказательство [Sk18, §1.4] не использует понятия числа оборотов.) Аналог для  $K_{3,3}$  справедлив ввиду утверждений 2.1 и 5.6.а ниже.

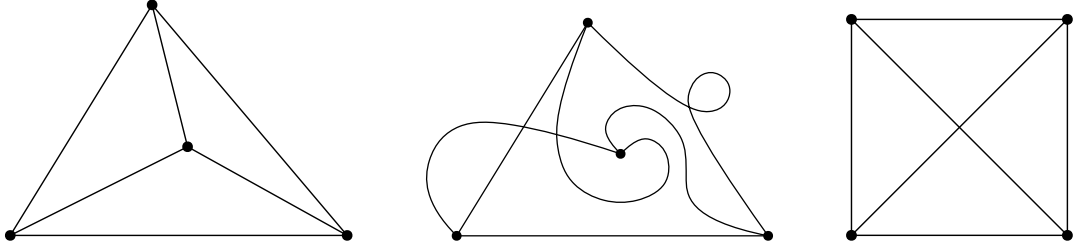


Рис. 4.1. Вложение, почти вложение и отображение (изображение), которое не является почти вложением

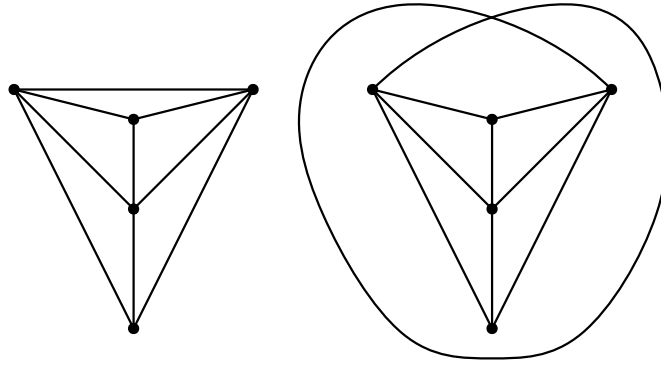


Рис. 4.2. Вложение и почти вложение графа  $K_5$  без ребра

Отображение  $f : K \rightarrow \mathbb{R}^2$  графа  $K$  называется **почти вложением**, если  $f(\alpha) \cap f(\beta) = \emptyset$  для любых двух несмежных симплексов (т.е. вершин и ребер)  $\alpha, \beta \subset K$ . Т.е. если

- (i) образы несмежных ребер не пересекаются,
- (ii) образ любой вершины не лежит на образе никакого ребра, несмежного с этой вершиной,
- (iii) образы различных вершин различны.

Теорема 4.1 означает, что не существует почти вложения графа  $K_5$  в плоскость.

Почти вложение графа  $K_4$  в плоскость — то же, что четверка точек  $A, B, C, D$  на плоскости, вместе с тремя парами  $\{A \dots B, C \dots D\}$ ,  $\{A \dots C, B \dots D\}$ ,  $\{A \dots D, B \dots C\}$  ломаных, в каждой паре из которых ломаные не пересекаются.

**Замечание 4.2.** Этот текст касается в первую очередь *инвариантов* почти вложений, а не проблем их *существования*. Поэтому мы сохраняем в определении свойства (ii, iii), выполнения которых можно добиться достаточно малым шевелением отображения, с сохранением свойства (i). *Если граф допускает почти вложение в плоскость, то граф планарен* (доказательство нетривиально). Однако существуют значения, реализуемые как инвариант некоторого почти вложения, но не реализуемые никаким вложением (ср. примеры 5.1.b и 5.1.c, а также ср. пример 5.10 и второе предложение после формулировки теоремы 5.2).

Почти вложения естественным образом возникают и применяются в топологической теории графов, в комбинаторной геометрии, в топологической комбинаторике и при изучении

вложений (графов в поверхности и гиперграфов в многомерные евклидовы пространства). Более подробная мотивировка приведена в [ST17, §1, ‘Motivation and background’], [Sk, §6.10 ‘Almost embeddings,  $\mathbb{Z}_2$ - and  $\mathbb{Z}$ -embeddings’].

### 5. ОСНОВНЫЕ РЕЗУЛЬТАТЫ: ЧИСЛА ОБОРОТОВ ПОЧТИ ВЛОЖЕНИЙ ГРАФОВ

**Пример 5.1.** (a) Для любого целого  $n$  и точки  $O$  существует почти вложение  $f : K_3 \rightarrow \mathbb{R}^2 - O$ , такое что  $w(f|_{123}) = n$ .

(b) Для любого целого  $n$  существует почти вложение  $f : K_4 \rightarrow \mathbb{R}^2$ , такое что  $w_f(123, 4) = n$ . (См. рисунок 5.1 для  $n = 3$ .)

(c) Для любого вложения  $f : K_3 \sqcup \{4\} \rightarrow \mathbb{R}^2$  имеем  $w_f(123, 4) \in \{-1, 0, 1\}$  (данное утверждение является переформулировкой утверждения 1.1.b и близко к теореме Жордана).

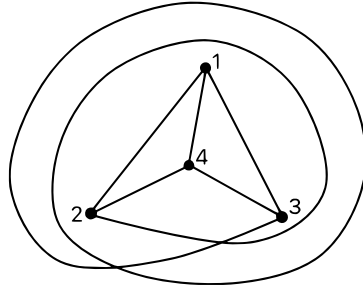


РИС. 5.1. Почти вложение  $f : K_4 \rightarrow \mathbb{R}^2$ , такое что  $w_f(123, 4) = 3$

*Соглашение.* Здесь и далее на рисунках вместо  $f(i)$  мы коротко пишем  $i$ .

Для почти вложения  $f : K_4 \rightarrow \mathbb{R}^2$  напомним, что  $w_f(C, v) := w(f|_C, f(v))$  для вершины  $v$  и ориентированного цикла  $C$ , и обозначим

$$W_f := \sum_{j=1}^4 (-1)^j w_f(C_j, j) = -w_f(234, 1) + w_f(134, 2) - w_f(124, 3) + w_f(123, 4).$$

Знак  $(-1)^j$ , не влияющий на четность, введен ради симметричности (утверждение 5.9.b).

**Теорема 5.2.** Для любого почти вложения  $f : K_4 \rightarrow \mathbb{R}^2$  число  $W_f$  нечетно.

Аналог теоремы 5.2 для вложений вместо почти вложений доказывается проще (он близок к теореме Жордана). Более того, для любого вложения  $f : K_4 \rightarrow \mathbb{R}^2$  три из четырех чисел из теоремы 5.2 равны нулю, а оставшееся равно  $\pm 1$ . Аналог теоремы 5.2 для отображений вместо почти вложений неверен по утверждению 3.4. В отличие от утверждения 3.2, теорема 5.2 не следует из «соотношения  $123 + 134 + 142 + 243 = 0$  в графе». Наброски доказательств теоремы 5.2 приведены в §5.A, §7.

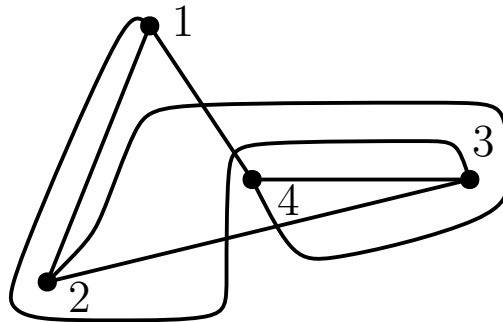


РИС. 5.2. (Е. Морозов) Почти вложение  $f : K_4 \rightarrow \mathbb{R}^2$ , такое что  $W_f = 3 \neq \pm 1$

**Гипотеза 5.3.** [см. рис. 5.2, пример 5.10 и [AM, L]] Для любых целых чисел  $n_1, n_2, n_3, n_4$ , сумма которых нечетна, существует почти вложение  $f : K_4 \rightarrow \mathbb{R}^2$ , такое что  $w_f(C_j, j) = n_j$  для каждого  $j \in [4]$ :

$$w_f(234, 1) = n_1, \quad w_f(134, 2) = n_2, \quad w_f(124, 3) = n_3, \quad w_f(123, 4) = n_4.$$

**Теорема 5.4** (ср. теорему 5.2 и гипотезу 5.3). Для любого почти вложения  $f : K_5 - 45 \rightarrow \mathbb{R}^2$  имеем

- (a)  $w_f(123, 4) - w_f(123, 5) \equiv 1 \pmod{2}$ ;
- (b)  $w_f(123, 4) - w_f(123, 5) = \pm 1$ .

Аналог пункта (b) для вложений вместо почти вложений является более простым (он близок к теореме Жордана). Пункт (a) несложен и хорошо известен, см. набросок доказательства в §5.A. А пункт (b) является недавним нетривиальным результатом [Ga23].

**Задача 5.5.** (a) Верен ли аналог теоремы 5.4.a для отображений вместо почти вложений? (b) Для любого целого  $n$  существует почти вложение  $f : K_5 - 45 \rightarrow \mathbb{R}^2$ , такое что  $w_f(123, 5) = n$ . (См. рисунок 4.2, справа, для  $n = 2$ .)

**Задача 5.6.** Возьмем ребро  $ab$  графа  $K_{3,3}$ . Обозначим через  $C = C_{ab}$  произвольно ориентированный цикл  $K_{3,3} - a - b$  длины 4. Для любого почти вложения  $f : K_{3,3} - ab \rightarrow \mathbb{R}^2$  имеем

- (a)  $w_f(C, a) - w_f(C, b) \equiv 1 \pmod{2}$ ;
- (b) (гипотеза)  $w_f(C, a) - w_f(C, b) = \pm 1$ .

Пункт (a) доказывается аналогично теореме 5.4.a. Аналог пункта (b) для вложений вместо почти вложений более прост (и близок к теореме Жордана).

**Задача 5.7** (загадка). Для почти вложения  $f : K \rightarrow \mathbb{R}^2$  графа  $K$  рассмотрим набор целых чисел  $w_f(C, v)$ , где  $v \in K$  — вершина, а  $C$  — ориентированный цикл в  $K - v$ . Опишите наборы, реализуемые почти вложениями  $f : K \rightarrow \mathbb{R}^2$ . Ответ для случая  $K = K_4$  дается теоремой 5.2 и гипотезой 5.3. Ответ интересен даже когда  $K$  есть  $K_5 - 45$ , граф куба, граф октаэдра. Аналогичный вопрос интересен с добавлением других инвариантов (§6 и замечание 7.7).

Возможно, это описание не имеет красивой формулировки. Тогда интересен алгоритм, который по набору целых чисел (соответствующих парам  $(C, v)$ ), или даже другим инвариантам) выясняет, реализуется ли этот набор некоторым почти вложением  $f : K \rightarrow \mathbb{R}^2$ .

**Замечание 5.8** (мотивировки). (a) *Гиперграфы* — многомерные аналоги графов: ребрами могут быть не только двухэлементные, но и любые подмножества вершин. Классическая задача топологии, комбинаторики и компьютерной науки — нахождение критериев (и алгоритмов) реализуемости гиперграфов в евклидовом пространстве данной размерности  $d$ .

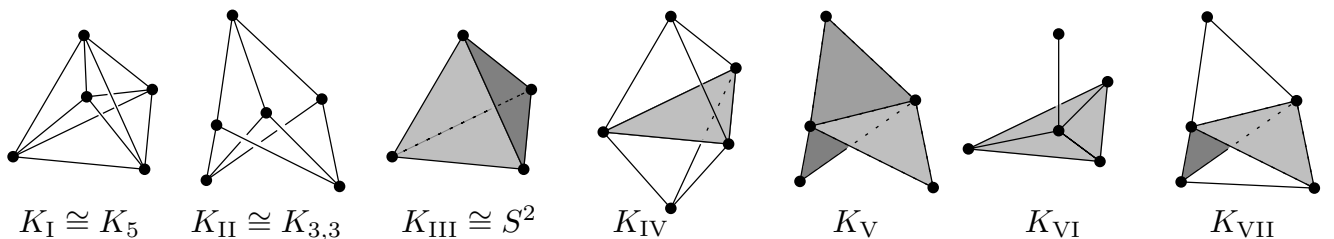


Рис. 5.3. Двумерные гиперграфы, не вложимые в плоскость

Такой критерий получен классиками топологии в 1930-1960-е гг. для  $2d \geq 3k + 3$ , где  $k$  — размерность гиперграфа. Основанный на этом критерии полиномиальный алгоритм распознавания реализуемости получен в 2013. Алгоритмическая неразрешимость для  $2d < 3k + 2$  анонсирована в 2019 году на конференции в Обервольфахе (Марек Филадельский, Ульрих

Вагнер и Стефан Жечев). Дыру нашел в 2020 году Аркадий Скопенков (она признана авторами). Не было доказано, что в многомерном аналоге для *вложений* теоремы 5.4.b (и примера 8.2.a) некоторый коэффициент зацепления равен  $\pm 1$ .

В 2020 году Роман Карасев и А. Скопенков показали, что для *почти вложений* этот коэффициент зацепления может принимать любое нечетное значение. Их гипотеза об аналогичном результате для графов на плоскости опровергнута в 2023 году Тимуром Гараевым, см. теорему 5.4.b. См. ссылки в обзорах [Sk06, §5], [Sk18, §3] и недавние работы [KS20, Ga23].

(b) Алгебраическая версия почти вложений ( $\mathbb{Z}_2$ -вложения) появилась в 1930-х годах и активно изучается в теории графов с 2000-х годов. См., например, обзоры [SS13], [Sk, §6.10 «Почти вложения,  $\mathbb{Z}_2$ - и  $\mathbb{Z}$ -вложения»] и статью [FK19] о связи  $\mathbb{Z}_2$ -вложений и задачи минимизации ранга при восполнении матрицы.

Аналоги утверждений 5.2, 5.4.a, 5.6.a верны для  $\mathbb{Z}_2$ -вложений. Гипотеза: аналоги утверждений 5.4.b, 5.6.b верны для  $\mathbb{Z}$ -вложений, но неверны для  $\mathbb{Z}_2$ -вложений.

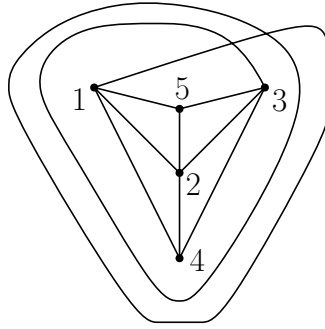


Рис. 5.4. Почти вложение  $f : K_5 - 45 \rightarrow \mathbb{R}^2$ , такое что  $w_f(123, 5) = 3$

*Решение задачи 5.5.* (a) Нет. Правильный пятиугольник  $f(1) \dots f(5)$  со всеми диагоналями, но без отрезка  $f(4)f(5)$ , образует отображение  $f : K_5 - 45 \rightarrow \mathbb{R}^2$ , такое что  $w_f(123, 4) - w_f(123, 5) = 0$ .

(b) См. рисунок 5.4 для  $n = 3$ .

### 5.A. ДОКАЗАТЕЛЬСТВА НЕКОТОРЫХ РЕЗУЛЬТАТОВ ИЗ §5

Определения *общности положения* набора точек, а также *внутренности* по модулю 2, даны в §2. Отображение  $f : K \rightarrow \mathbb{R}^2$  графа  $K$  называется отображением *общего положения*, если вершины ломаных из определения отображения находятся в общем положении. Тогда образы любых двух несмежных ребер пересекаются в конечном числе точек. Обозначим через  $V(f)$  количество точек пересечения образов несмежных ребер.

*Сведение теоремы 5.2 к топологической теореме Радона.* Можно считать, что  $f$  является отображением общего положения. Иначе заменим его «малым шевелением» на почти вложение  $g : K_4 \rightarrow \mathbb{R}^2$  общего положения, такое что  $w_g(C_j, j) = w_f(C_j, j)$  для каждого  $j \in [4]$ .

Теперь ввиду утверждения 2.3 число  $w_f(C_j, j)$  нечетно тогда и только тогда, когда образ вершины  $j$  лежит во *внутренности* по модулю 2 ломаной  $f|_{C_j}$ . Значит, число  $W_f$  имеет ту же четность, что и количество  $I(f)$  тех вершин  $j$ , образы которых лежат во *внутренности* по модулю 2 ломаной  $f|_{C_j}$ . Поскольку  $f$  является почти вложением, имеем  $V(f) = 0$ . Тогда теорема 5.2 вытекает из следующей знаменитой топологической теоремы Радона для плоскости [Sk18, лемма 2.2.3]: *для любого отображения  $h : K_4 \rightarrow \mathbb{R}^2$  общего положения сумма  $V(h) + I(h)$  нечетна.*  $\square$

*Сведение теоремы 5.4.a к теореме ван Кампена-Флореса.* Можно считать, что  $f$  является отображением общего положения. Иначе заменим его «малым шевелением» на почти вложение  $g : K_5 - 45 \rightarrow \mathbb{R}^2$  общего положения, такое что  $w_g(123, 4) = w_f(123, 4)$  и  $w_g(123, 5) = w_f(123, 5)$ .

Рассмотрим отображение  $h : K_5 \rightarrow \mathbb{R}^2$  общего положения, такое что  $h|_{K_5-45} = f$ . Теорема 5.4.a вытекает из следующей цепочки равенств и сравнений:

$$w_f(123, 4) - w_f(123, 5) = w_h(123, 4) - w_h(123, 5) \stackrel{(1)}{\equiv} |h(45) \cap h(123)| \stackrel{(2)}{\equiv} V(h) \stackrel{(3)}{\equiv} 1 \pmod 2.$$

Здесь сравнение (1) верно ввиду утверждения 2.2.a, равенство (2) — ввиду того, что  $f$  является почти вложением, а сравнение (3) является знаменитой теоремой ван Кампена-Флореса для плоскости [Sk18, лемма 1.4.3] (справедливой для любого отображения  $h : K_5 \rightarrow \mathbb{R}^2$  общего положения).<sup>4</sup> □

**Задача 5.9.** Пусть  $f : K_4 \rightarrow \mathbb{R}^2$  — почти вложение, а  $\sigma$  — перестановка множества [4] (точнее, соответствующий автоморфизм графа  $K_4$ ).

(a) Если  $\sigma$  меняет местами 1 с 2 и оставляет на месте 3, 4, а  $g := f \circ \sigma$ , то

$$w_g(C_1, 1) = w_f(C_2, 2), \quad w_g(C_2, 2) = w_f(C_1, 1), \quad w_g(C_3, 3) = -w_f(C_3, 3), \quad w_g(C_4, 4) = -w_f(C_4, 4).$$

(b) Имеем  $W_{f \circ \sigma} = \text{sgn } \sigma \cdot W_f$ .

(c) Имеем  $w_{f \circ \sigma}(C_j, j) = (-1)^{\sigma(j)-j} \text{sgn } \sigma \cdot w_f(C_{\sigma(j)}, \sigma(j))$ .

*Указание.* Пункты (b,c) выводятся из пункта (a) с помощью разложения перестановки  $\sigma$  в композицию транспозиций.

**Пример 5.10** (ср. с примером 3.4). Для любых целых  $n_1, n_2, n_3, n_4$ , таких что  $\sum_{j=1}^4 (-1)^j n_j = \pm 1$  существует почти вложение  $f : K_4 \rightarrow \mathbb{R}^2$ , такое что  $w_f(C_j, j) = n_j$  для каждого  $j \in [4]$ :

$$w_f(234, 1) = n_1, \quad w_f(134, 2) = n_2, \quad w_f(124, 3) = n_3, \quad w_f(123, 4) = n_4.$$

*Идея построения.* Достаточно построить почти вложение для  $N := \sum_{j=1}^4 (-1)^j n_j = 1$ . Тогда ввиду утверждения 5.9.a нужное почти вложение существует и для  $N = -1$ .

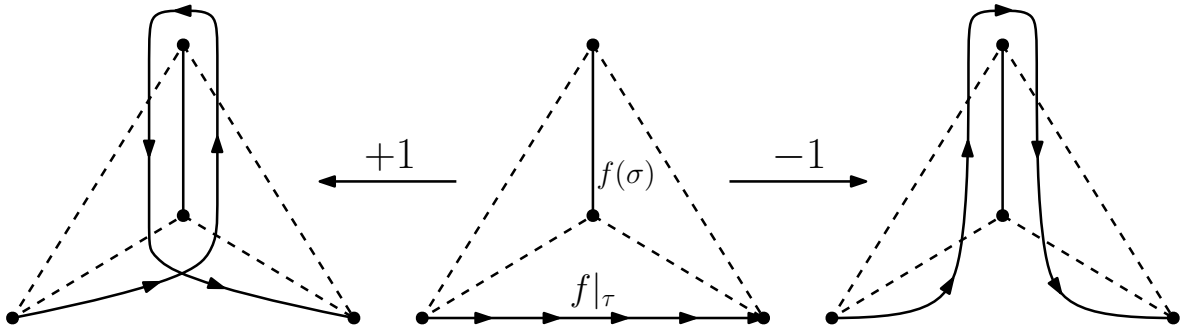


Рис. 5.5. «Пальцевые движения» ломаной  $f|_\tau$  вокруг отрезка  $f(\sigma)$ : положительное (слева), отрицательное (справа)

*Построение почти вложения для  $N = 1$ .* Правильный треугольник с его центром и ребрами, соединяющими центр с вершинами, образуют отображение  $f : K_4 \rightarrow \mathbb{R}^2$ ; пусть вершины  $f(1), f(2), f(3)$  пронумерованы против часовой стрелки. Тогда  $w_f(C_j, j) = 0$  для каждого  $j \in [3]$ , и  $w_f(C_4, 4) = 1$ . Сделаем

- $|n_1|$  положительных/отрицательных «пальцевых движений» ломаной  $f|_{23}$  вокруг отрезка  $f(14)$  (рисунок 5.5, ср. с рисунком 1.4), если  $n_1$  положительно/отрицательно соответственно;
- $|n_2|$  положительных/отрицательных «пальцевых движений» ломаной  $f|_{13}$  вокруг отрезка  $f(24)$ , если  $n_2$  положительно/отрицательно соответственно;
- $|n_3|$  положительных/отрицательных «пальцевых движений» ломаной  $f|_{12}$  вокруг отрезка  $f(34)$ , если  $n_3$  положительно/отрицательно соответственно; полученное отображение является искомым. □

<sup>4</sup>Теорема 5.4.b является *целочисленной версией* для почти вложений этой теоремы. Заметим, что эта теорема не имеет *целочисленной версии* для отображений (это известно и объяснено в [Ga23, Remark 5.b]).

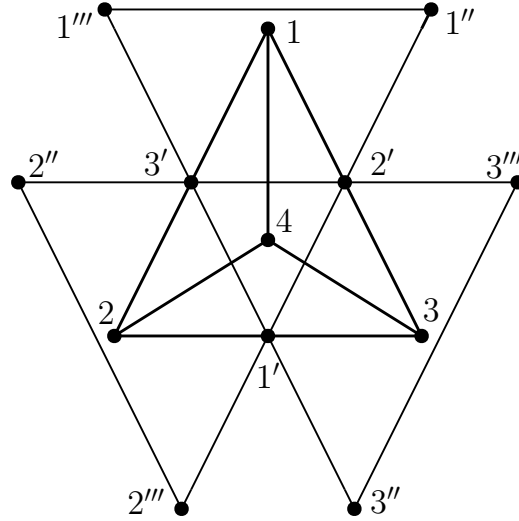


Рис. 5.6. К построению примера 5.10

Построение примера 5.10 для  $N = 1$ . В дальнейших равенствах цифры слева от знака равенства являются вершинами графа  $K_4$ , справа — точками плоскости, изображенными на рисунке 5.6. Положим  $f(j) = j$  для каждого  $j \in [4]$ ,  $f|_{j4} = j4$  для каждого  $j \in [3]$  и

$$f|_{12} = 1(3'3''3''')^{n_3}3'2, \quad f|_{23} = 2(1'1''1''')^{n_1}1'3, \quad f|_{13} = 1(2'2''2''')^{n_2}2'3.$$

Докажем, что отображение  $f$  является искомым. Имеем

$$\begin{aligned} w_f(234, 1) &= w'(f|_{23}, f(1)) + w'(f|_{34}, f(1)) + w'(f|_{42}, f(1)) = \\ &= w'(2(1'1''1''')^{n_1}1'3, 1) + w'(34, 1) + w'(42, 1) = n_1 w(1'1''1''', 1) + w(21'34, 1) = n_1. \end{aligned}$$

Для остальных чисел оборотов доказательства аналогичны. (Похожие вычисления уже встречались в построениях примеров 1.7 и 3.4.)  $\square$

### 6. Триодическое и циклическое числа Ву: определения и обсуждение

Определим новые инварианты, и интересные сами по себе, и полезные для изучения числа оборотов (см. §§1,7).

Назовем тройку ломаных  $l_1, l_2, l_3$ , соединяющих точку  $O$  с точками  $A_1, A_2, A_3$  соответственно, **триодической**, если  $A_i \notin l_j$  для всех  $i \neq j$ . (Другими словами, если ломаные образуют почти вложение  $f : K_{3,1} \rightarrow \mathbb{R}^2$ .)

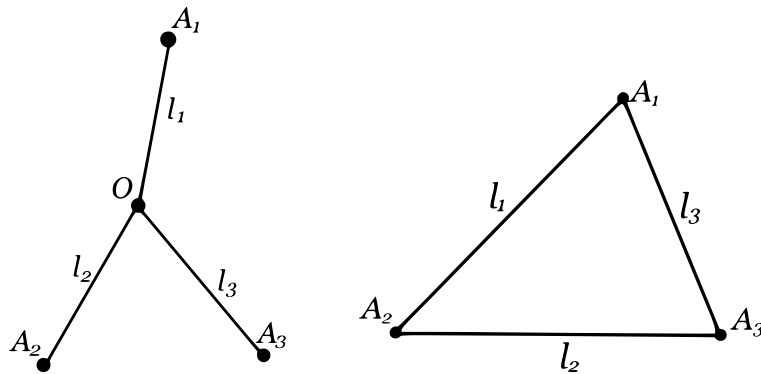


Рис. 6.1. Триод и треугольник

Для триодической тройки ломаных  $l_1, l_2, l_3$  **триодическое число Ву**  $wu(l_1, l_2, l_3)$  определяется как число оборотов вектора в результате следующих вращений:

- от вектора  $\overrightarrow{A_1A_2}$  к вектору  $\overrightarrow{A_1A_3}$ , при котором конец вектора движется по ломаной  $l_2^{-1}l_3$ , затем
- от вектора  $\overrightarrow{A_1A_3}$  к вектору  $\overrightarrow{A_2A_3}$ , при котором начало вектора движется по  $l_1^{-1}l_2$ , затем
- от вектора  $\overrightarrow{A_2A_3}$  к вектору  $\overrightarrow{A_2A_1}$ , при котором конец вектора движется по  $l_3^{-1}l_1$ , затем
- от вектора  $\overrightarrow{A_2A_1}$  к вектору  $\overrightarrow{A_3A_1}$  по  $l_2^{-1}l_3$ , затем
- от вектора  $\overrightarrow{A_3A_1}$  к вектору  $\overrightarrow{A_3A_2}$  по  $l_1^{-1}l_2$ , затем
- от вектора  $\overrightarrow{A_3A_2}$  к вектору  $\overrightarrow{A_1A_2}$  по  $l_3^{-1}l_1$ .

Это равно удвоенному (нецелому) числу оборотов в результате первых трех из вышеприведенных вращений. Строго говоря,

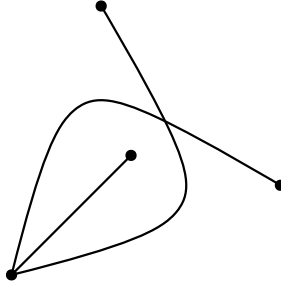
$$\text{wu}(l_1, l_2, l_3) := w'(l_2^{-1}l_3, A_1) + w'(l_1^{-1}l_2, A_3) + w'(l_3^{-1}l_1, A_2) + w'(l_2^{-1}l_3, A_1) + w'(l_1^{-1}l_2, A_3) + w'(l_3^{-1}l_1, A_2) = 2(w'(l_2^{-1}l_3, A_1) + w'(l_1^{-1}l_2, A_3) + w'(l_3^{-1}l_1, A_2)). \quad (*)$$


Рис. 6.2. Тройка ломаных с триодическим числом  $\text{Vu} \pm 3$

- Пример 6.1.** (a) Для трех отрезков  $l_1, l_2, l_3$ , соединяющих вершины  $A_1, A_2, A_3$  правильного треугольника с его центром  $O$  соответственно, триодическое число  $\text{Vu}$  равно  $\pm 1$  (рисунок 6.1, слева).
- (b) Для тройки ломаных на рисунке 6.2 триодическое число  $\text{Vu}$  равно  $\pm 3$ .
- (c) Для любого вложения  $f : K_{3,1} \rightarrow \mathbb{R}^2$  триодическое число  $\text{Vu}$  равно  $\pm 1$ .
- (d) Для триодической тройки ломаных  $l_1, l_2, l_3$  перестановка ломаных умножает их триодическое число  $\text{Vu}$  на знак перестановки.

Здесь пункт (c) доказывается индукцией по количеству вершин в ломаных из определения отображения графа в плоскость.

**Утверждение 6.2.** Для любой триодической тройки ломаных триодическое число  $\text{Vu}$  нечетно.

*Доказательство.* Обозначим через  $l_1, l_2, l_3$  ломаные, образующие триодическую тройку, и соединяющие точку  $O$  с точками  $A_1, A_2, A_3$  соответственно. Имеем

$$\begin{aligned} \text{wu}(l_1, l_2, l_3) &\stackrel{(1)}{=} 2 \left( \frac{\angle A_2A_1A_3}{2\pi} + k_1 + \frac{\angle A_3A_2A_1}{2\pi} + k_2 + \frac{\angle A_1A_3A_2}{2\pi} + k_3 \right) = \\ &= 2(k_1 + k_2 + k_3) + 2 \frac{\angle A_2A_1A_3 + \angle A_3A_2A_1 + \angle A_1A_3A_2}{2\pi} = 2(k_1 + k_2 + k_3) + 1 \end{aligned}$$

для некоторых целых  $k_1, k_2, k_3$ . Здесь равенство (1) следует из определения (\*) и утверждения 1.5.  $\square$

**Пример 6.3.** Для любого целого  $n$  существует триодическая тройка ломаных, триодическое число  $\text{Vu}$  которых равно  $2n + 1$ .

*Идея построения примера.* Пример для  $n = 2$  приведен рисунке 6.3 слева:

$$w'(l_2^{-1}l_3, A_1) = \frac{\angle A_2A_1A_3}{2\pi}, \quad w'(l_3^{-1}l_1, A_2) = \frac{\angle A_3A_2A_1}{2\pi}, \quad w'(l_1^{-1}l_2, A_3) = \frac{\angle A_1A_3A_2}{2\pi} + 2,$$

так что  $wu(l_1, l_2, l_3) = 2 \cdot 2 + 1 = 5$ .

Возьмем правильный треугольник  $A_1A_2A_3$ , вершины которого пронумерованы против часовой стрелки. Обозначим через  $l'_1, l'_2, l'_3$  отрезки, соединяющие вершины  $A_1, A_2, A_3$  треугольника с его центром  $O$  соответственно. Обозначим через  $l_1$  ломаную, полученную в результате  $|n|$  положительных/отрицательных пальцевых движений (рисунок 1.4) ломаной  $l'_1$  вокруг вершины  $A_3$  для положительного/отрицательного  $n$  соответственно. Тогда

$$wu(l_1, l_2, l_3) = 2 \left( \frac{\angle A_2A_1A_3}{2\pi} + \frac{\angle A_3A_2A_1}{2\pi} + \frac{\angle A_1A_3A_2}{2\pi} + n \right) = 1 + 2n.$$

□

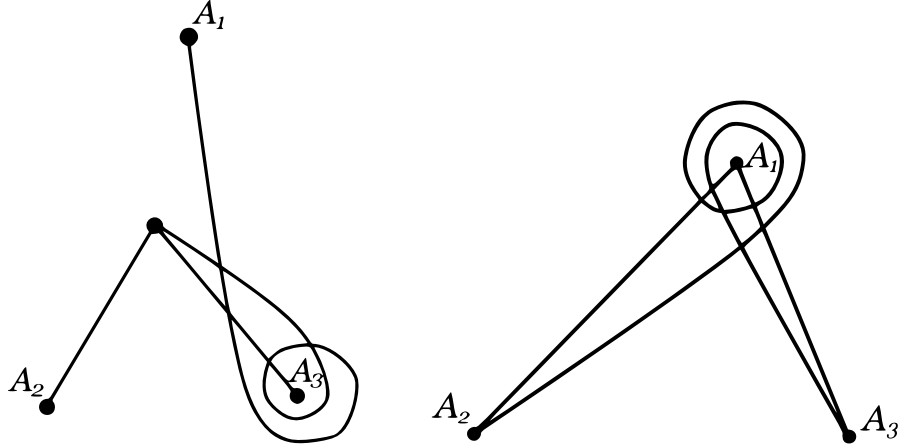


Рис. 6.3. Тройка ломаных, триодическое/циклическое (слева/справа) число Ву которой равно 5

Назовем тройку ломаных  $l_1, l_2, l_3$ , соединяющих  $A_1$  с  $A_2$ ,  $A_2$  с  $A_3$ ,  $A_3$  с  $A_1$  соответственно (и, таким образом, образующих замкнутую ломаную), **циклической**, если  $A_i \notin l_{i+1}$  для каждого  $i = 1, 2, 3$  (нумерация по модулю 3; другими словами, если ломаные образуют почти вложение  $f : K_3 \rightarrow \mathbb{R}^2$ ).

Для циклической тройки ломаных **циклическое число Ву**  $wu(l_1, l_2, l_3)$  определяется как число оборотов вектора в результате следующих вращений:

- от вектора  $\overrightarrow{A_1A_2}$  к вектору  $\overrightarrow{A_1A_3}$ , при котором конец вектора движется по ломаной  $l_2$ , затем
- от вектора  $\overrightarrow{A_1A_3}$  к вектору  $\overrightarrow{A_2A_3}$ , при котором начало вектора движется по  $l_1$ , затем
- от вектора  $\overrightarrow{A_2A_3}$  к вектору  $\overrightarrow{A_2A_1}$ , при котором конец вектора движется по  $l_3$ , затем
- от вектора  $\overrightarrow{A_2A_1}$  к вектору  $\overrightarrow{A_3A_1}$ , затем
- от вектора  $\overrightarrow{A_3A_1}$  к вектору  $\overrightarrow{A_3A_2}$ , затем
- от вектора  $\overrightarrow{A_3A_2}$  к вектору  $\overrightarrow{A_1A_2}$ .

Это равно удвоенному (нецелому) числу оборотов в результате первых трех из вышеприведенных вращений. Строго говоря,  $wu(l_1, l_2, l_3)$  определяется следующей формулой, аналогичной (\*):

$$\begin{aligned} wu(l_1, l_2, l_3) &:= w'(l_2, A_1) + w'(l_1, A_3) + w'(l_3, A_2) + w'(l_2, A_1) + w'(l_1, A_3) + w'(l_3, A_2) = \\ &= 2(w'(l_2, A_1) + w'(l_1, A_3) + w'(l_3, A_2)). \quad (**) \end{aligned}$$

**Пример 6.4** (ср. пример 6.1.а,с). (а) Если циклическая тройка ломаных образует треугольник, то ее циклическое число Ву равно  $\pm 1$  (рисунок 6.1, справа).

(б) Если циклическая тройка ломаных образует замкнутую несамопересекающуюся ломаную, то циклическое число Ву равно  $\pm 1$  (это утверждение близко к теореме Жордана).

**Утверждение 6.5** (ср. утверждение 6.2). *Для любой циклической тройки ломаных циклическое число  $Wu$  нечетно.*

*Доказательство.* Обозначим через  $l_1, l_2, l_3$  ломаные, образующие циклическую тройку, и соединяющие  $A_1$  с  $A_2$ ,  $A_2$  с  $A_3$ ,  $A_3$  с  $A_1$  соответственно. Имеем

$$\begin{aligned} \text{wu}(l_1, l_2, l_3) &\stackrel{(1)}{=} 2 \left( \frac{\angle A_2 A_1 A_3}{2\pi} + k_1 + \frac{\angle A_3 A_2 A_1}{2\pi} + k_2 + \frac{\angle A_1 A_3 A_2}{2\pi} + k_3 \right) = \\ &= 2(k_1 + k_2 + k_3) + 2 \frac{\angle A_2 A_1 A_3 + \angle A_3 A_2 A_1 + \angle A_1 A_3 A_2}{2\pi} = 2(k_1 + k_2 + k_3) + 1 \end{aligned}$$

для некоторых целых  $k_1, k_2, k_3$ . Здесь равенство (1) следует из (\*\*) и из утверждения 1.5.  $\square$

**Пример 6.6** (ср. пример 6.3). *Для любого  $n$  существует циклическая тройка ломаных, циклическое число  $Wu$  которой равно  $2n + 1$ .*

*Идея построения примера.* Пример для  $n = 2$  на рисунке 6.3 справа:

$$w'(l_2, A_1) = \frac{\angle A_2 A_1 A_3}{2\pi} + 2, \quad w'(l_3, A_2) = \frac{\angle A_3 A_2 A_1}{2\pi}, \quad w'(l_1, A_3) = \frac{\angle A_1 A_3 A_2}{2\pi},$$

так что  $\text{wu}(l_1, l_2, l_3) = 2 \cdot 2 + 1 = 5$ .

Рассмотрим правильный треугольник  $A_1 A_2 A_3$ , вершины которого пронумерованы против часовой стрелки. Обозначим через  $l'_2, l_3, l_1$  ломаные  $A_2 A_3, A_3 A_1, A_1 A_2$  соответственно. Обозначим через  $l_2$  ломаную, полученную в результате  $|n|$  положительных/отрицательных пальцевых движений (рисунок 1.4) ломаной  $l'_2$  вокруг вершины  $A_1$  для положительного/отрицательного  $n$  соответственно. Тогда

$$\text{wu}(l_1, l_2, l_3) = 2 \left( \frac{\angle A_2 A_1 A_3}{2\pi} + n + \frac{\angle A_3 A_2 A_1}{2\pi} + \frac{\angle A_1 A_3 A_2}{2\pi} \right) = 2n + 1.$$

$\square$

Так как для графов  $K_{3,1}$  и  $K_3$  определения почти вложения и слабого почти вложения эквивалентны, то вместо вышеприведенных построений примеров 6.3 и 6.6 можно использовать лемму 3.5.

*Степенью* замкнутой гладкой кривой называется число оборотов касательного вектора при обходе кривой. *Степенью* замкнутой ломаной  $A_1 \dots A_m$  называется число

$$\frac{(\pi - \angle A_1 A_2 A_3) + (\pi - \angle A_2 A_3 A_4) + \dots + (\pi - \angle A_{m-1} A_m A_1) + (\pi - \angle A_m A_1 A_2)}{2\pi}.$$

Циклическое число  $Wu$  схоже со степенью замкнутой ломаной, но отличается от нее.

## 7. СВЯЗЬ ИНВАРИАНТОВ ДРУГ С ДРУГОМ

...и с гомологиями взрезанного квадрата графа [DMN+, §5].

Следующий факт фактически появился в доказательстве свойств примера 6.6.

**Задача 7.1.** (а) Возьмем циклическую тройку ломаных  $l_1, l_2, l'$ , а также ломаную  $l$ , соединяющую  $A_3$  с  $A_1$  и не проходящую через  $A_2$ . Тогда

$$\text{wu}(l_1, l_2, l') - \text{wu}(l_1, l_2, l) = 2w(l^{-1}l', A_2).$$

(б) (загадка) Сформулируйте и докажите аналогичный факт для триодического числа  $Wu$ .

*Доказательство утверждения 7.1.а.* По определению (\*\*) имеем

$$\text{wu}(l_1, l_2, l') - \text{wu}(l_1, l_2, l) = 2w'(l', A_2) - 2w'(l, A_2) = 2w(l^{-1}l', A_2).$$

$\square$

Нечетность числа  $W(f)$  для почти вложения  $f : K_4 \rightarrow \mathbb{R}^2$  (теорема 5.2) вытекает из утверждения 7.2.а и нечетности триодического числа Ву (утверждение 6.2). (Такое доказательство дает альтернативное доказательство топологической теоремы Радона для плоскости и для почти вложений, см. формулировку в §5.А.)

Для почти вложения  $f : K_4 \rightarrow \mathbb{R}^2$  и  $\{i, j, p, q\} = [4]$  обозначим

$$\text{wu}_f(ij, ip, iq) := \text{wu}(f|_{ij}, f|_{ip}, f|_{iq}) \quad \text{и} \quad \text{wu}_f(ijp) := \text{wu}(f|_{ij}, f|_{jp}, f|_{pi}).$$

**Утверждение 7.2.** Для любого почти вложения  $f : K_4 \rightarrow \mathbb{R}^2$  имеем

(a)  $W_f = \text{wu}_f(41, 42, 43) = \text{wu}_f(31, 34, 32) = \text{wu}_f(21, 23, 24) = \text{wu}_f(12, 14, 13)$ .

(b)  $\sum_{j=1}^4 w_f(C_j, j) = \text{wu}(f|_{12}, f|_{23}, f|_{34}f|_{41})$ .

(c)  $2w_f(123, 4) = \text{wu}_f(123) + \text{wu}_f(41, 42, 43)$ .

*Набросок доказательства.* (Как можно придумать эти формулы, написано в замечании 7.3.b на примере формул (а, с).)

Будем неявно использовать определения чисел Ву (\*) и (\*\*), а также следующие равенства:

- $w_f(ijk, v) = w'_f(ij, v) + w'_f(jk, v) + w'_f(ki, v)$ , если  $\{i, j, k, v\} = [4]$ ;
- $w'_f(ij, v) = -w'_f(ji, v)$  для любых ребра  $ij$  и вершины  $v \notin ij$ .

Для  $\{i, j, p, q\} = [4]$  обозначим

$$\partial_f(ij \times pq) := w'_f(ij, p) + w'_f(pq, j) + w'_f(ji, q) + w'_f(qp, i).$$

Поскольку  $f$  является почти вложением, то по лемме 2.5 имеем  $\partial_f(ij \times pq) = 0$  для любых  $\{i, j, p, q\} = [4]$ .

$\partial_f(12 \times 34)$	$\partial_f(23 \times 14)$	$\partial_f(31 \times 24)$	
$+2w'_f(21, 3)$	$+2w'_f(32, 1)$	$+2w'_f(13, 2)$	
$+2w'_f(12, 4)$	$+2w'_f(23, 4)$	$+2w'_f(31, 4)$	
$w'_f(43, 1)$	$w'_f(32, 1)$	$w'_f(24, 1)$	$-w'_f(234, 1)$
$w'_f(34, 2)$	$w'_f(41, 2)$	$w'_f(13, 2)$	$w'_f(134, 2)$
$w'_f(21, 3)$	$w'_f(14, 3)$	$w'_f(42, 3)$	$-w'_f(124, 3)$
$w'_f(12, 4)$	$w'_f(23, 4)$	$w'_f(31, 4)$	$w'_f(123, 4)$
$\partial_f(12 \times 43)$	$\partial_f(23 \times 41)$	$\partial_f(31 \times 42)$	
$+2w'_f(43, 1)$	$+2w'_f(41, 2)$	$+2w'_f(24, 1)$	
$+2w'_f(34, 2)$	$+2w'_f(14, 3)$	$+2w'_f(42, 3)$	

Рис. 7.1. Различные группировки слагаемых в сумме  $W_f$

Первое равенство пункта (а) доказывается так:

$$\begin{aligned} W_f &\stackrel{(1)}{=} \\ &= 2(w'_f(24, 1) + w'_f(43, 1) + w'_f(14, 3) + w'_f(42, 3) + w'_f(34, 2) + w'_f(41, 2)) + \\ &\quad + \partial_f(12 \times 43) + \partial_f(23 \times 41) + \partial_f(31 \times 42) = \\ &= \text{wu}_f(41, 42, 43). \end{aligned}$$

$\partial(12 \times 34)$	$\partial(23 \times 14)$	$\partial(31 \times 24)$	
$+2(21 \times 3)$	$+2(32 \times 1)$	$+2(13 \times 2)$	
$+2(12 \times 4)$	$+2(23 \times 4)$	$+2(31 \times 4)$	
$43 \times 1$	$32 \times 1$	$24 \times 1$	$-(234 \times 1)$
$34 \times 2$	$41 \times 2$	$13 \times 2$	$134 \times 2$
$21 \times 3$	$14 \times 3$	$42 \times 3$	$-(124 \times 3)$
$12 \times 4$	$23 \times 4$	$31 \times 4$	$123 \times 4$
$\partial(12 \times 43)$	$\partial(23 \times 41)$	$\partial(31 \times 42)$	
$+2(43 \times 1)$	$+2(41 \times 2)$	$+2(24 \times 1)$	
$+2(34 \times 2)$	$+2(14 \times 3)$	$+2(42 \times 3)$	

Рис. 7.2. Различные группировки слагаемых в сумме  $W_f$  (в кратких обозначениях)

Для доказательства равенства (1) посмотрим на рисунок 7.1. Вне прямоугольника написана сумма в соответствующей строке или в соответствующем столбце чисел в прямоугольнике.

Сумма всех чисел в прямоугольнике равна сумме чисел справа от него и равна  $W_f$ . Она также равна сумме чисел снизу от него, т.е. правой части равенства (1).

Аналогично доказывается, что  $W_f$  равно другим числам  $W_u$  из пункта (а) (берем некоторые числа сверху, а некоторые снизу от прямоугольника). Это следует также из симметрии (утверждения 5.9.b и 6.1.d).

Аналогично доказывается равенство  $W_f = 2w_f(123, 4) - wu_f(123)$  (берем числа только сверху от прямоугольника), из которого следует пункт (с). Иными словами и напрямую,

$$wu_f(123) + wu_f(41, 42, 43) - 2w_f(123, 4) = \pm 2\partial_f(13 \times 24) \pm 2\partial_f(12 \times 34) \pm 2\partial_f(14 \times 23) = 0.$$

Аналогично доказывается пункт (b):

$$\begin{aligned} & \sum_{j=1}^4 w_f(C_j, j) = \\ & = 2(w'_f(23, 1) + w'_f(34, 2) + w'_f(41, 2) + w'_f(12, 3)) + \partial_f(12 \times 43) + \partial_f(23 \times 41) + \partial_f(13 \times 24) = \\ & = wu(f|_{12}, f|_{23}, f|_{34}f|_{41}). \end{aligned}$$

А вот немного другое доказательство пункта (b):

$$\begin{aligned} \sum_{j=1}^4 w_f(C_j, j) &= 2w_f(134, 2) + 2w_f(123, 4) - W_f \stackrel{(1)}{=} 2w_f(134, 2) + 2w_f(123, 4) - wu_f(41, 42, 43) \stackrel{(2)}{=} \\ & \stackrel{(2)}{=} 2w_f(134, 2) + wu_f(123) \stackrel{(3)}{=} wu(f|_{12}, f|_{23}, f|_{34}f|_{41}). \end{aligned}$$

Здесь равенства (1), (2) и (3) верны ввиду пункта (а), пункта (с) и утверждения 7.1.a, соответственно.  $\square$

**Замечание 7.3.** (а) Формулы из доказательства утверждения 7.2 упростятся, если переобозначить  $C \times_f v := w_f(C, v)$  для ориентированного цикла  $C$  в графе, и  $C \times_f v := w'_f(C, v)$  для ориентированного пути  $C$  в графе. Кроме того, можно убрать индексы  $f$  (не влияющие на преобразования). См. рисунок 7.2. Тем самым, при доказательстве утверждения 7.2

«не обязательно» помнить ни о сумме углов, через которую определяются числа оборотов и числа Ву, ни об отображении  $f$ .

Это упрощение — проявление того, что за утверждением 7.2 стоят соотношения между целочисленными одномерными циклами во взрезанном квадрате графа  $K_4$  [DMN+, §5]. Эти соотношения можно применять не только к доказательству утверждений типа 7.2, но и к их придумыванию (ибо вместо формул можно смотреть на картинки, ср. (b)). Эти соотношения можно применять и к другим задачам, см. ссылки в [DMN+, Введение].

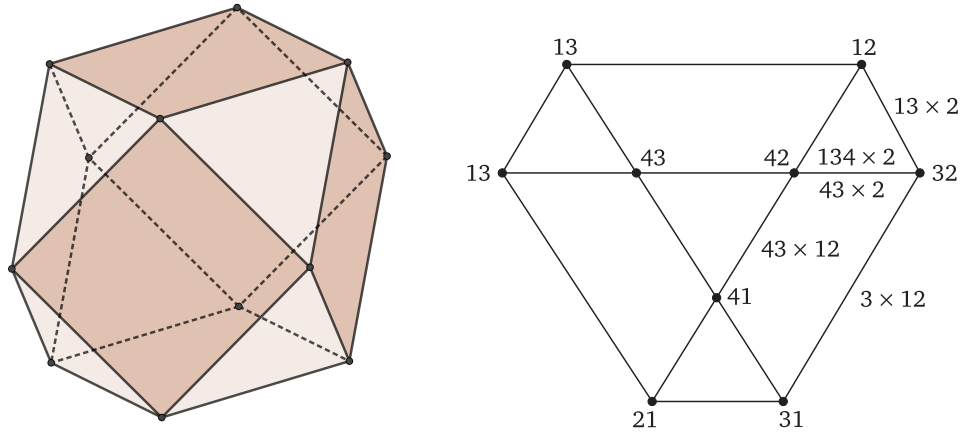


Рис. 7.3. Слева: магический кубоктаэдр. Справа: пояснение к магической формуле (не показана невидимая часть, проекция которой получена из изображения проекции вращением на  $\pi/3$ ; нижнее 13 должно быть 23).

(b) (как придумать и геометрически интерпретировать утверждение 7.2.ас) На рисунке 7.3 ср. [DMN+, §2, §5]

- $4 \times 123$  — центральный треугольник,
- $123 \times 4$  — невидимый центральный треугольник,
- $24 \times 13$  — нижняя левая трапецевидная грань,
- $13 \times 24$  — верхняя правая невидимая трапецевидная грань,
- $\text{off}(123) := 12, 13, 23, 21, 31, 32$  — внешний цикл длины 6,
- $\text{triod}(123, 4) := 12, 14, 13, 43, 23, 24, \dots$ , где точками обозначена часть, симметричная написанной (получена заменой  $xy$  на  $yx$ ); каждый из циклов  $\text{off}(123)$  и  $\text{triod}(123, 4)$  разбивает кубоктаэдр на две равные части.

Магическая формула для равенства  $W_f = w_f(41, 42, 43)$  (7.2.a):

$$\text{triod}(123, 4) + \partial(12 \times 43) + \partial(23 \times 41) + \partial(31 \times 42) = -234 \times 1 + 134 \times 2 - 124 \times 3 + 123 \times 4.$$

Магическая формула для равенства  $2w_f(123, 4) = w_f(123) + w_f(41, 42, 43)$  (7.2.c):

$$\text{off}(123) + \text{triod}(123, 4) =$$

$$123 \times 4 + 4 \times 123 + \partial(13 \times 24) + \partial(24 \times 13) + \partial(12 \times 34) + \partial(34 \times 12) + \partial(14 \times 23) + \partial(23 \times 14).$$

**Гипотеза 7.4** (ср. утверждение 7.2.c; см. [Za]). Для любых двух нечетных чисел  $n, t$  существует почти вложение  $f : K_4 \rightarrow \mathbb{R}^2$ , такое что  $w_f(123) = t$  и  $w_f(41, 42, 43) = n$ .

Из утверждения 7.2.c вытекает следующее.

**Утверждение 7.5.** Для любого почти вложения  $f : K_5 - 45 \rightarrow \mathbb{R}^2$  выполнено

$$w_f(41, 42, 43) - w_f(51, 52, 53) = 2(w_f(123, 4) - w_f(123, 5)).$$

Благодаря утверждению 7.5 можно пытаться доказать теорему 5.4.b, забыв про данное почти вложение графа  $K_5 - 45$ , и рассматривая только его сужение на подграф  $K_{3,2}$  с долями 1, 2, 3 и 4, 5. Рисунок 7.4 показывает, что так не получится. (При этом теорема 5.4.b доказывается в [Ga23] при помощи превращения указанного сужения во вложение.)

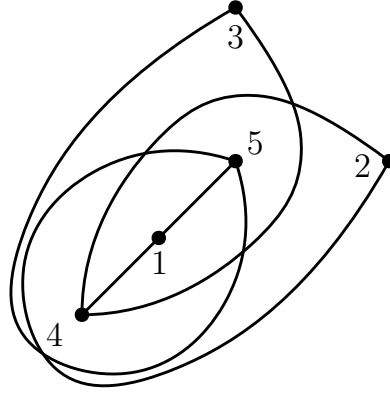


Рис. 7.4. Почти вложение  $f$  графа  $K_{3,2}$  с долями 1, 2, 3 и 4, 5 в плоскость, для которого  $wu_f(41, 42, 43) = wu_f(51, 52, 53)$  (придумано Т. Гараевым; несколькими днями ранее более сложный пример, для которого  $wu_f(41, 42, 43) - wu_f(51, 52, 53) \neq \pm 2$ , придуман А. Лазаревым)

**Замечание 7.6** (классификация почти вложений). (а) Непрерывная деформация (почти) вложения, в каждый момент которой отображение остается (почти) вложением, называется (почти) *изотопией*. Числа оборотов  $w_f(C, v)$ , числа Ву и инварианты, упоминаемые далее, являются инвариантами (почти) вложения  $f : K \rightarrow \mathbb{R}^2$  относительно (почти) изотопии.

(б) Для почти вложения графа в плоскость рассмотрим триодические числа Ву его сужений на всевозможные триоды в графе. Для любого дерева если все эти числа у двух *вложений* равны, то эти вложения изотопны (ввиду фольклорного результата [Sk, теорема 1.6.1]).

**Гипотеза.** Для любого дерева (или хотя бы для графа  $K_{n,1}$ ) если все триодические числа Ву сужений на всевозможные триоды в дереве у двух почти вложений равны, то эти почти вложения почти изотопны.

(с) Для почти вложения графа в плоскость рассмотрим триодические и циклические числа Ву его сужений на всевозможные триоды и циклы в графе. Для любого графа если все эти числа у двух *вложений* равны, то эти вложения изотопны (ввиду [Sk, теорема 1.6.1]).

**Гипотеза.** Для любого графа если все триодические и циклические числа Ву сужений на всевозможные триоды и циклы в графе у двух почти вложений равны, то эти почти вложения почти изотопны.

**Замечание 7.7** (другие инварианты). Аналог циклического числа Ву можно определить для замкнутой ломаной, составленной из нескольких ломаных  $l_1, l_2, \dots, l_n$  общего положения (или образующих почти вложение графа-цикла) Например, для  $n = 4$  можно взять

$$wu(l_1, l_2, l_3, l_4) := w'(l_2l_3, A_1) + w'(l_3l_4, A_2) + w'(l_4l_1, A_3) + w'(l_1l_2, A_4).$$

(Если ломаные образуют почти вложение графа-цикла, то это число равно  $wu(l_1, l_2l_3, l_4)$  и равно  $wu(l_1l_2, l_3, l_4)$ , а иначе — не обязательно. Ср. определение *околодиагонального цикла* [DMN+, §4].) Полученный инвариант также называется *циклическим числом Ву* почти вложения графа-цикла (а не  $n$ -циклическим числом Ву).

Аналоги триодического числа Ву можно определить для  $n$  ломаных с общей вершиной, находящихся в общем положении (или образующих почти вложение графа  $K_{n,1}$ ).

Кроме чисел оборотов  $w_f(C, v)$  и чисел Ву имеются аналогичные «оборотные» инварианты почти вложений, см. определение в [Sk, перед задачей 1.6.3]. (Каждый из них соответствует некоторому *целочисленному одномерному циклу* во взрезанном квадрате графа [DMN+, §5].)

**Гипотеза.** Любой «оборотный» инвариант почти вложений является линейной комбинацией с рациональными коэффициентами *триодических* и *циклических* чисел Ву, а также чисел оборотов.

Аналог этой гипотезы по модулю 2 (даже без чисел оборотов, но для «симметричных» инвариантов) вытекает из описания [Bo] порождающих в одномерной группе гомологий по

модулю 2 взрезанного квадрата графа. Эта гипотеза вытекает из целочисленного аналога гипотезы 5.8.а в [DMN+], ср. [BF09, the text after Corollary 7.4].

## 8. ТРЕХМЕРНЫЕ АНАЛОГИ

**Теорема 8.1** (Линейная теорема Конвея-Гордона-Закса). *Если никакие четыре из шести точек в трехмерном пространстве не лежат в одной плоскости, то существуют два зацепленных треугольника с вершинами в этих шести точках (т. е. первый треугольник пересекает контур второго треугольника ровно в одной точке).*

Доказательство см. в обзоре [Sk14].

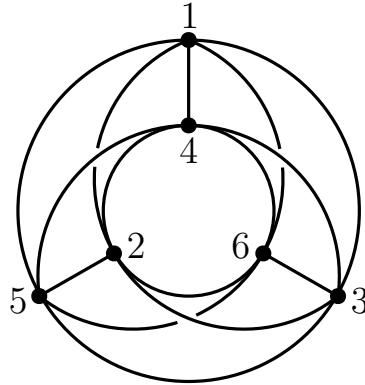


Рис. 8.1. Проекция на плоскость вложения  $K_6 \rightarrow \mathbb{R}^3$

Эквивалентные строгие определения *коэффициента зацепления* непересекающихся замкнутых ломаных в трёхмерном пространстве (используемые в следующей задаче) можно найти в [Sk20u, §§4,8], [Sk24, §§1.2,1.3], [Sk, §§4.2,4.3].

**Пример 8.2.** [ср. рисунок 8.1] (а) Для любого целого  $n$  в трёхмерном пространстве существуют шесть точек, а также попарно соединяющие их несамопересекающиеся ломаные, для которых

- (a1) никакая из ломаных не пересекает внутренность другой ломаной,
- (a2) коэффициент зацепления одной (неупорядоченной) пары непересекающихся циклов длины 3, образованных ломаными, равен  $2n + 1$ , а также
- (a3) коэффициент зацепления любой другой пары непересекающихся циклов длины 3, образованных ломаными, равен нулю.

(b) (гипотеза) Возьмем любые 10 целых чисел  $n_{123,456}, n_{124,356}, \dots$ , соответствующие 10 неупорядоченным разбиениям множества [6] на два 3-элементных подмножества. Если сумма этих чисел нечетна, то в трёхмерном пространстве существуют шесть точек 1, 2, 3, 4, 5, 6, а также попарно соединяющие их несамопересекающиеся ломаные, для которых выполнено (a1), и коэффициент зацепления каждой пары  $\{ijk, pqr\}$  непересекающихся циклов длины 3, образованных ломаными, равен  $n_{ijk,pqr}$ .

Часть (а) доказана в [KS20, Proposition 1.2], но могла быть известна и раньше. Часть (b), по-видимому, можно доказать с помощью [KS20, Lemma 2.1].

## СПИСОК ЛИТЕРАТУРЫ

- [ABMt] \* Э. Алкин, Е. Бордачева, А. Мирошников, О. Никитенко, А. Скопенков, Инварианты почти вложений графов в плоскость, <https://turgor.ru/lktg/2024/3>.
- [AM] E. Alkin, A. Miroshnikov, On winding numbers of almost embeddings of  $K_4$  in the plane, draft.
- [BF09] K. Barnett, M. Farber. Topology of Configuration Space of Two Particles on a Graph, I. Algebr. Geom. Topol. 9 (2009) 593–624. arXiv:0903.2180.
- [Bo] E. Bordacheva. Symmetric 1-cycles in the deleted product of graph, <https://drive.google.com/file/d/1Qc0X8ghMqwxgP79ItsKULjBF5Yu9vnR9/view?pli=1>.

- [DMN+] \* *C. Дженджер, А. Мирошников, О. Никитенко и А. Скопенков.* Циклы в графах и в гиперграфах, arXiv:2406.16705.
- [FK19] *R. Fulek, J. Kynčl,*  $\mathbb{Z}_2$ -genus of graphs and minimum rank of partial symmetric matrices, 35th Intern. Symp. on Comp. Geom. (SoCG 2019), Article No. 39; pp. 39:1–39:16, <https://drops.dagstuhl.de/opus/volltexte/2019/10443/pdf/LIPIcs-SoCG-2019-39.pdf>. We refer to numbering in arXiv version: arXiv:1903.08637.
- [Ga23] *T. Garaev,* On drawing  $K_5$  minus an edge in the plane, arXiv:2303.14503.
- [HC19] \* *C. Herbert Clemens.* Two-Dimensional Geometries. A Problem-Solving Approach, Amer. Math. Soc., 2019.
- [IKN+] *A. Inoue, N. Kimura, R. Nikkuni, K. Taniyama,* Crossing numbers and rotation numbers of cycles in a plane immersed graph, J. of Knot Theory and Its Ramif. 31:11, 2250076 (2022). [arXiv:2205.01013](https://arxiv.org/abs/2205.01013).
- [KK18] \* *А. Канель-Белов, П. Кожевников,* О кратности покрытия ориентированными многоугольниками, Квант, N5 (2018), 20–24, <https://kvant.mccme.ru/pdf/2018/2018-05.pdf>.
- [KS20] *R. Karasev and A. Skopenkov.* Some ‘converses’ to intrinsic linking theorems, Discr. Comp. Geom., 70:3 (2023), 921–930, arXiv:2008.02523.
- [L] *A. Lazarev,* draft.
- [RS] \* Введение в топологию (дискретные структуры и алгоритмы в топологии), курс А. Руховича и А. Скопенкова, <https://old.mccme.ru/circles/oim/home/combtop13.htm#fivt>.
- [Sk06] \* *A. Skopenkov,* Embedding and knotting of manifolds in Euclidean spaces, London Math. Soc. Lect. Notes, 347 (2008) 248–342. arXiv:math/0604045.
- [Sk14] \* *А. Скопенков,* Реализуемость гиперграфов и неотъемлемая зацепленность, Мат. просвещение, 32 (2024), 125–159. arXiv:1402.0658.
- [Sk16] \* *А. Скопенков,* A user’s guide to the topological Tverberg Conjecture, arXiv:1605.05141v5. Abridged earlier published version: Russian Math. Surveys, 73:2 (2018), 323–353.
- [Sk18] \* *А. Скопенков,* Инварианты изображений графов на плоскости, Мат. просвещение, 31 (2023), 74–127. arXiv:1805.10237.
- [Sk20] \* *А. Скопенков,* Алгебраическая топология с геометрической точки зрения, Москва, МЦНМО, 2020 (2е издание). Часть книги: <http://www.mccme.ru/circles/oim/obstruct.pdf>
- [Sk20ц] \* *А. Скопенков.* Основы теории узлов и зацеплений для пользователя, Мат. просвещение, 27 (2021), 128–165. arXiv:2001.01472.
- [Sk24] \* *А. Скопенков.* Двойные и тройные коэффициенты зацепления в пространстве. Мат. просвещение, 33 (2024), 87–132.
- [Sk] \* *А. Скопенков.* Алгебраическая топология с алгоритмической точки зрения, <http://www.mccme.ru/circles/oim/algor.pdf>.
- [SS13] *M. Schaefer and D. Štefankovič.* Block additivity of  $\mathbb{Z}_2$ -embeddings. In Graph drawing, volume 8242 of Lecture Notes in Comput. Sci., 185–195. Springer, Cham, 2013. <http://ovid.cs.depaul.edu/documents/genus.pdf>
- [ST17] *A. Skopenkov and M. Tancer,* Hardness of almost embedding simplicial complexes in  $\mathbb{R}^d$ , Discr. Comp. Geom., 61:2 (2019), 452–463. arXiv:1703.06305.
- [Ta88] \* *С. Табачников,* О плоских кривых, Квант, N11 (1988), 59–63, [https://kvant.mccme.ru/1988/11/o\\_ploskih\\_krivyh.htm](https://kvant.mccme.ru/1988/11/o_ploskih_krivyh.htm)
- [To84] \* *А. Тоом,* Сколько площадей у многоугольника? Квант, N12 (1984), 9–12, [https://kvant.mccme.ru/1984/12/skolko\\_ploshchadej\\_u\\_mnogougol.htm](https://kvant.mccme.ru/1984/12/skolko_ploshchadej_u_mnogougol.htm)
- [Va81] \* *Н. Вагутен,* Формула площади, Квант, N4 (1981), 17–20, [https://kvant.mccme.ru/1981/04/formula\\_ploshchadi.htm](https://kvant.mccme.ru/1981/04/formula_ploshchadi.htm)
- [Wn] \* [https://ru.wikipedia.org/wiki/Число\\_оборотов](https://ru.wikipedia.org/wiki/Число_оборотов)
- [Za] *M. Zakharov,* On triodic and cyclic Wu numbers of almost embeddings of  $K_4$  in the plane, draft.
- [ZSS] \* Элементы математики в задачах: через олимпиады и кружки к профессии. Сборник под редакцией А. Заславского, А. Скопенкова и М. Скопенкова. М.: МЦНМО, 2018. <http://www.mccme.ru/circles/oim/materials/sturm.pdf>.

*Книги, обзоры и методические статьи в этом списке помечены звездочками.*

*Все авторы:* МОСКОВСКИЙ ФИЗИКО-ТЕХНИЧЕСКИЙ ИНСТИТУТ.

*А. Скопенков:* НЕЗАВИСИМЫЙ МОСКОВСКИЙ УНИВЕРСИТЕТ, [HTTPS://USERS.MCCME.RU/SKOPENKO/](https://users.mccme.ru/skopenko/).